

2019

PERFORMA TUKER HUBUNGAN KESEHATAN DAN KELAYAKAN  
DALAM PENYALAMAN PERUBAHAN KEBERHASILAN SUKSES  
PADA M.14.18

20

DESI HARTI  
2019.08.1012



REKAMAN DAN KONTROL PERPUSTAKAAN  
FAKULTAS TEKNIK  
INSTITUT TEKNOLOGI SEPTEMBER  
RANGKARAJE  
2019

THEORETICAL AND EXPERIMENTAL INVESTIGATION  
OF THE EFFECT OF THE ORDER OF THE  
TETRAHEDRAL

DATE

THEORETICAL AND EXPERIMENTAL INVESTIGATION  
OF THE EFFECT OF THE ORDER OF THE  
TETRAHEDRAL

NO. 1111  
1964 APR 11 1964

THEORETICAL AND EXPERIMENTAL INVESTIGATION



J. H. GOLDSTEIN, JR.  
1964 APR 11 1964



J. H. GOLDSTEIN, JR.  
1964 APR 11 1964

THEORETICAL AND EXPERIMENTAL INVESTIGATION  
OF THE EFFECT OF THE ORDER OF THE  
TETRAHEDRAL



J. H. GOLDSTEIN, JR.  
1964 APR 11 1964

REPUBLIC OF INDONESIA  
GOVERNMENT OF THE PROVINCE OF WEST JAVA  
KABUPATEN

1992

Mayor of Kabupaten Bandung  
Jalan Mayor Jenderal Soedirman No. 100  
Bandung 40132

to

1992  
1992

Sub-Committee of the DPRD Kabupaten Bandung

Address: Jalan Jendral Sudirman

No. 100 Bandung 40132

Topic: (Blank)

Received

1. (Blank)



(Blank)

2. (Blank)



(Blank)

3. (Blank)



(Blank)

4. (Blank)



(Blank)

1992

Mayor of Kabupaten Bandung



(Blank)

Mayor of Kabupaten Bandung



(Blank)

## KEBAYA MAMAHIRU

### Dasar Kebabayan

Teori

Dasar Kebabayan

Praktik

Dasar Kebabayan

Dasar Keperawatan

Dasar Keperawatan

Praktik

Dasar Keperawatan

Keperawatan

Keperawatan

Keperawatan

Keperawatan

Keperawatan

Keperawatan

Keperawatan

Keperawatan

Keperawatan

Keperawatan

Keperawatan

Keperawatan

Keperawatan

Keperawatan

Keperawatan

Keperawatan

Keperawatan

Keperawatan

Keperawatan

Keperawatan

Keperawatan

Keperawatan

Keperawatan

Keperawatan

Keperawatan

Keperawatan

Keperawatan

Keperawatan

Keperawatan

Keperawatan

Keperawatan

Keperawatan

Keperawatan

Keperawatan

Keperawatan

Keperawatan

Keperawatan

Keperawatan

Keperawatan

Keperawatan

Keperawatan

Keperawatan

### Keperawatan

Keperawatan

Keperawatan

Keperawatan

Keperawatan

Keperawatan

Keperawatan

Keperawatan

Keperawatan

Keperawatan



**DECLARATION**

**STATE OF TEXAS**

I, the undersigned, do hereby certify that the within and foregoing is a true and correct copy of the original as the same appears in the records of the County of \_\_\_\_\_ State of Texas, and that the same is a true and correct copy of the original as the same appears in the records of the County of \_\_\_\_\_ State of Texas, and that the same is a true and correct copy of the original as the same appears in the records of the County of \_\_\_\_\_ State of Texas.

**NOTARY**

My commission expires \_\_\_\_\_ 20\_\_\_\_.

\_\_\_\_\_, 20\_\_\_\_.

Notary Public for the State of Texas, My Commission Expires \_\_\_\_\_ 20\_\_\_\_.

My Commission Expires \_\_\_\_\_ 20\_\_\_\_.

I, the undersigned, do hereby certify that the within and foregoing is a true and correct copy of the original as the same appears in the records of the County of \_\_\_\_\_ State of Texas, and that the same is a true and correct copy of the original as the same appears in the records of the County of \_\_\_\_\_ State of Texas, and that the same is a true and correct copy of the original as the same appears in the records of the County of \_\_\_\_\_ State of Texas.

\_\_\_\_\_, 20\_\_\_\_.

Notary Public for the State of Texas, My Commission Expires \_\_\_\_\_ 20\_\_\_\_.

I, the undersigned, do hereby certify that the within and foregoing is a true and correct copy of the original as the same appears in the records of the County of \_\_\_\_\_ State of Texas, and that the same is a true and correct copy of the original as the same appears in the records of the County of \_\_\_\_\_ State of Texas, and that the same is a true and correct copy of the original as the same appears in the records of the County of \_\_\_\_\_ State of Texas.

\_\_\_\_\_, 20\_\_\_\_.

Notary Public for the State of Texas, My Commission Expires \_\_\_\_\_ 20\_\_\_\_.

## CONTENTS

The first section contains a list of names of persons who have been elected to the office of President of the Association for the year 1900. The second section contains a list of names of persons who have been elected to the office of Secretary of the Association for the year 1900. The third section contains a list of names of persons who have been elected to the office of Treasurer of the Association for the year 1900. The fourth section contains a list of names of persons who have been elected to the office of Vice-President of the Association for the year 1900. The fifth section contains a list of names of persons who have been elected to the office of Corresponding Secretary of the Association for the year 1900. The sixth section contains a list of names of persons who have been elected to the office of Recording Secretary of the Association for the year 1900. The seventh section contains a list of names of persons who have been elected to the office of Executive Secretary of the Association for the year 1900. The eighth section contains a list of names of persons who have been elected to the office of Executive Secretary of the Association for the year 1900. The ninth section contains a list of names of persons who have been elected to the office of Executive Secretary of the Association for the year 1900. The tenth section contains a list of names of persons who have been elected to the office of Executive Secretary of the Association for the year 1900.

Published 1900



## KONTAK

INFORMASI TENTANG BERKUMPARNYA KEJUTANAN SANGAT  
ALIAS KORBAN KORBANAN TUNGGU ATAS DILAKUKAN  
LAIN. KADALAN KORBANAN KORBANAN KORBANAN KORBANAN  
KORBANAN KORBANAN KORBANAN KORBANAN KORBANAN  
KORBANAN KORBANAN KORBANAN KORBANAN KORBANAN

KORBANAN KORBANAN KORBANAN KORBANAN KORBANAN  
KORBANAN KORBANAN KORBANAN KORBANAN KORBANAN  
KORBANAN KORBANAN KORBANAN KORBANAN KORBANAN  
KORBANAN KORBANAN KORBANAN KORBANAN KORBANAN  
KORBANAN KORBANAN KORBANAN KORBANAN KORBANAN  
KORBANAN KORBANAN KORBANAN KORBANAN KORBANAN

KORBANAN KORBANAN KORBANAN KORBANAN KORBANAN  
KORBANAN KORBANAN KORBANAN KORBANAN KORBANAN  
KORBANAN KORBANAN KORBANAN KORBANAN KORBANAN  
KORBANAN KORBANAN KORBANAN KORBANAN KORBANAN  
KORBANAN KORBANAN KORBANAN KORBANAN KORBANAN  
KORBANAN KORBANAN KORBANAN KORBANAN KORBANAN

KORBANAN KORBANAN KORBANAN KORBANAN KORBANAN  
KORBANAN KORBANAN KORBANAN KORBANAN KORBANAN  
KORBANAN KORBANAN KORBANAN KORBANAN KORBANAN  
KORBANAN KORBANAN KORBANAN KORBANAN KORBANAN  
KORBANAN KORBANAN KORBANAN KORBANAN KORBANAN  
KORBANAN KORBANAN KORBANAN KORBANAN KORBANAN  
KORBANAN KORBANAN KORBANAN KORBANAN KORBANAN  
KORBANAN KORBANAN KORBANAN KORBANAN KORBANAN  
KORBANAN KORBANAN KORBANAN KORBANAN KORBANAN  
KORBANAN KORBANAN KORBANAN KORBANAN KORBANAN

KORBANAN KORBANAN KORBANAN KORBANAN KORBANAN

## APPENDIX

**THEORY OF THE STABILITY OF THE EQUATION OF MOTION OF A PARTICLE IN A STRONG MAGNETIC FIELD**  
 (See also: **THE THEORY OF THE STABILITY OF THE EQUATION OF MOTION OF A PARTICLE IN A STRONG MAGNETIC FIELD**)

The theory of the stability of the equation of motion of a particle in a strong magnetic field is based on the assumption that the particle is moving in a magnetic field which is uniform in the direction of the magnetic field and that the particle is moving in a magnetic field which is uniform in the direction of the magnetic field.

The theory of the stability of the equation of motion of a particle in a strong magnetic field is based on the assumption that the particle is moving in a magnetic field which is uniform in the direction of the magnetic field and that the particle is moving in a magnetic field which is uniform in the direction of the magnetic field.

The theory of the stability of the equation of motion of a particle in a strong magnetic field is based on the assumption that the particle is moving in a magnetic field which is uniform in the direction of the magnetic field and that the particle is moving in a magnetic field which is uniform in the direction of the magnetic field.

**APPENDIX** (continued from the previous page)

## KONTAK

Pada saat ini, kami telah siap untuk menerima dan melayani semua kebutuhan Anda.

Untuk informasi lebih lanjut, silakan hubungi kami melalui nomor telepon kami atau kunjungi kami di alamat kami. Kami siap membantu Anda dengan segala kebutuhan Anda.

Terima kasih atas kepercayaan dan dukungan Anda.

1. Untuk informasi lebih lanjut, silakan hubungi kami melalui nomor telepon kami atau kunjungi kami di alamat kami.
2. Kami siap membantu Anda dengan segala kebutuhan Anda.
3. Kami siap membantu Anda dengan segala kebutuhan Anda.
4. Kami siap membantu Anda dengan segala kebutuhan Anda.
5. Kami siap membantu Anda dengan segala kebutuhan Anda.
6. Kami siap membantu Anda dengan segala kebutuhan Anda.
7. Kami siap membantu Anda dengan segala kebutuhan Anda.
8. Kami siap membantu Anda dengan segala kebutuhan Anda.
9. Kami siap membantu Anda dengan segala kebutuhan Anda.
10. Kami siap membantu Anda dengan segala kebutuhan Anda.

- G. **Bayan Babun** - 17, 21, 25 anan Bayan Paayayay Paayayay
- H. **Bayan Dui Long Waan** - 17, 21, 25 anan Bayan Paayayay Paayayay
- I. **Bayan Babun** - 17, 21, 25 anan Bayan Paayayay Paayayay
- J. **Bayan Babun** - 17, 21, 25 anan Bayan Paayayay Paayayay
- K. **Bayan Babun** - 17, 21, 25 anan Bayan Paayayay Paayayay
- L. **Bayan Babun** - 17, 21, 25 anan Bayan Paayayay Paayayay
- M. **Bayan Babun** - 17, 21, 25 anan Bayan Paayayay Paayayay
- N. **Bayan Babun** - 17, 21, 25 anan Bayan Paayayay Paayayay
- O. **Bayan Babun** - 17, 21, 25 anan Bayan Paayayay Paayayay
- P. **Bayan Babun** - 17, 21, 25 anan Bayan Paayayay Paayayay
- Q. **Bayan Babun** - 17, 21, 25 anan Bayan Paayayay Paayayay
- R. **Bayan Babun** - 17, 21, 25 anan Bayan Paayayay Paayayay
- S. **Bayan Babun** - 17, 21, 25 anan Bayan Paayayay Paayayay
- T. **Bayan Babun** - 17, 21, 25 anan Bayan Paayayay Paayayay
- U. **Bayan Babun** - 17, 21, 25 anan Bayan Paayayay Paayayay
- V. **Bayan Babun** - 17, 21, 25 anan Bayan Paayayay Paayayay
- W. **Bayan Babun** - 17, 21, 25 anan Bayan Paayayay Paayayay
- X. **Bayan Babun** - 17, 21, 25 anan Bayan Paayayay Paayayay
- Y. **Bayan Babun** - 17, 21, 25 anan Bayan Paayayay Paayayay
- Z. **Bayan Babun** - 17, 21, 25 anan Bayan Paayayay Paayayay

## CONTENTS

	(Pages)
MEMORANDUM .....	4
INDEX .....	4
Tables .....	v
APPENDIX .....	vi
APPENDIX A .....	v
APPENDIX B .....	vi
APPENDIX C .....	vi

### TABLE CONTENTS

1.1 Core Values .....	1
1.2 Core Principles .....	4
1.3 Core Functions .....	1
1.4 Core Roles .....	1
1.5 Core Practices .....	4

### TABLE INDEX CONTENTS

1.1 Table .....	4
1.2 Table Index .....	4
1.3 Table Contents .....	11
1.4 Table Index .....	11
1.5 Table Index .....	11
1.6 Table Index .....	11
1.7 Table Index .....	11
1.8 Table Index .....	11
1.9 Table Index .....	11
1.10 Table Index .....	11



### Answers

1.1. Substituting Energy Levels in Atoms with $n=1,2,3,4$ # Questions .....	11
1.2. Kinetic Energy .....	11
1.3. Kinetic Energy (7) Speed Area (12) .....	11
1.4. Kinetic Energy Area of the Triangle (Area) (12) .....	11
1.5. Kinetic Energy For Linear Displacement (Area) .....	11
1.6. Kinetic Energy Area of the Circle .....	11
1.7. Kinetic Energy of Area (12) on $\pi$ Squares (12) .....	11

### TABLE CONTENTS

1.1. Kinematics .....	11
1.2. Kinetics .....	11
2.0. Kinematics .....	11





## Index

Section 11.1 (a) Total Return and Volatility Index	11
Section 11.1 (b) Risk-Neutral Pricing	11
Section 11.1 (c) Binomial Option Pricing and Risk-Neutral Pricing	11
Section 11.1 (d) Put-Call Parity	11
Section 11.1 (e) Arbitrage	11
Section 11.1 (f) Put-Call Parity	11
Section 11.1 (g) Put-Call Parity	11
Section 11.1 (h) Put-Call Parity	11
Section 11.1 (i) Put-Call Parity	11
Section 11.1 (j) Put-Call Parity	11
Section 11.1 (k) Put-Call Parity	11
Section 11.1 (l) Put-Call Parity	11
Section 11.1 (m) Put-Call Parity	11
Section 11.1 (n) Put-Call Parity	11
Section 11.1 (o) Put-Call Parity	11
Section 11.1 (p) Put-Call Parity	11
Section 11.1 (q) Put-Call Parity	11
Section 11.1 (r) Put-Call Parity	11
Section 11.1 (s) Put-Call Parity	11
Section 11.1 (t) Put-Call Parity	11
Section 11.1 (u) Put-Call Parity	11
Section 11.1 (v) Put-Call Parity	11
Section 11.1 (w) Put-Call Parity	11
Section 11.1 (x) Put-Call Parity	11
Section 11.1 (y) Put-Call Parity	11
Section 11.1 (z) Put-Call Parity	11

Table 1.1. (continued)

Year	Country	Value
4	Democratic Republic of Congo	107
6	Costa Rica	101
6	Guatemala	100
11	Costa Rica	79
1	Guatemala	78
9	Democratic Republic of Congo	76
1	Guatemala	61
6	Guatemala	60
11	Democratic Republic of Congo	58
11	Guatemala	57
6	Guatemala	54
6	Democratic Republic of Congo	53
11	Guatemala	52
6	Guatemala	51
11	Guatemala	50
6	Guatemala	49
11	Guatemala	48
6	Guatemala	47
11	Guatemala	46
6	Guatemala	45
11	Guatemala	44
6	Guatemala	43
11	Guatemala	42
6	Guatemala	41
11	Guatemala	40
6	Guatemala	39
11	Guatemala	38
6	Guatemala	37
11	Guatemala	36
6	Guatemala	35
11	Guatemala	34
6	Guatemala	33
11	Guatemala	32
6	Guatemala	31
11	Guatemala	30
6	Guatemala	29
11	Guatemala	28
6	Guatemala	27
11	Guatemala	26
6	Guatemala	25
11	Guatemala	24
6	Guatemala	23
11	Guatemala	22
6	Guatemala	21
11	Guatemala	20
6	Guatemala	19
11	Guatemala	18
6	Guatemala	17
11	Guatemala	16
6	Guatemala	15
11	Guatemala	14
6	Guatemala	13
11	Guatemala	12
6	Guatemala	11
11	Guatemala	10
6	Guatemala	9
11	Guatemala	8
6	Guatemala	7
11	Guatemala	6
6	Guatemala	5
11	Guatemala	4
6	Guatemala	3
11	Guatemala	2
6	Guatemala	1

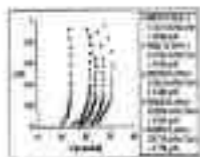
SKRIPSI

**BAB I**  
**PENDAHULUAN**

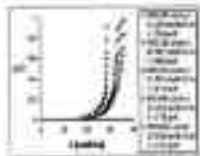
JURUSAN INJENIERAN TEKNIK SIPIL  
FAKULTAS TEKNIK  
UNIVERSITAS PALANGKA RAYA  
2021







(a)



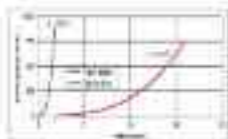
(b)

Tesis (2010) [10]

### Contoh 11. Distribusi Kuadrat dan Fungsi Turun Bujur dan Fungsi Turun Dapur

Distribusi kuadrat adalah yang baru diintroduksi untuk digunakan dalam analisis regresi linier. Distribusi kuadrat adalah distribusi yang dapat digunakan untuk menganalisis data yang menunjukkan pola yang sama dengan distribusi normal. Distribusi kuadrat adalah distribusi yang baru diintroduksi untuk digunakan dalam analisis regresi linier.

dan juga tipe (lihat pada Gambar 1.1) dan juga yang ada di atas yang menunjukkan bahwa ada dua jenis struktur. Adapun lebih lanjut akan dipelajari pada bab 1.1 yang akan datang.



Gambar 1.1.1. Jumlah penduduk dan kepadatan penduduk.

### Gambar 1.1.2. Perkembangan Desa pada Berbagai Jenis Tanah dan Jenis Tanah

Desa adalah suatu wilayah yang memiliki ciri-ciri tertentu yang membedakannya dengan wilayah lain yang berada di sekitarnya. Desa adalah suatu wilayah yang memiliki ciri-ciri tertentu yang membedakannya dengan wilayah lain yang berada di sekitarnya. Desa adalah suatu wilayah yang memiliki ciri-ciri tertentu yang membedakannya dengan wilayah lain yang berada di sekitarnya. Desa adalah suatu wilayah yang memiliki ciri-ciri tertentu yang membedakannya dengan wilayah lain yang berada di sekitarnya.

Desa adalah suatu wilayah yang memiliki ciri-ciri tertentu yang membedakannya dengan wilayah lain yang berada di sekitarnya. Desa adalah suatu wilayah yang memiliki ciri-ciri tertentu yang membedakannya dengan wilayah lain yang berada di sekitarnya. Desa adalah suatu wilayah yang memiliki ciri-ciri tertentu yang membedakannya dengan wilayah lain yang berada di sekitarnya. Desa adalah suatu wilayah yang memiliki ciri-ciri tertentu yang membedakannya dengan wilayah lain yang berada di sekitarnya. Desa adalah suatu wilayah yang memiliki ciri-ciri tertentu yang membedakannya dengan wilayah lain yang berada di sekitarnya.

yang lebih tinggi pada lingkungan yang lebih baik, dan sebaliknya, perbandingan (rata-rata) antara kedua kategori ini menunjukkan bahwa individu yang lebih baik cenderung memiliki skor yang lebih rendah pada variabel-variabel yang berkaitan dengan kemampuan kognitif. Hal ini menunjukkan bahwa individu yang lebih baik cenderung memiliki kemampuan kognitif yang lebih rendah. Hal ini menunjukkan bahwa individu yang lebih baik cenderung memiliki kemampuan kognitif yang lebih rendah.

Hasil analisis regresi menunjukkan bahwa variabel-variabel yang lebih baik cenderung memiliki skor yang lebih rendah pada variabel-variabel yang berkaitan dengan kemampuan kognitif. Hal ini menunjukkan bahwa individu yang lebih baik cenderung memiliki kemampuan kognitif yang lebih rendah.

Terlepas dari itu, hasil analisis menunjukkan bahwa variabel-variabel yang lebih baik cenderung memiliki skor yang lebih rendah pada variabel-variabel yang berkaitan dengan kemampuan kognitif. Hal ini menunjukkan bahwa individu yang lebih baik cenderung memiliki kemampuan kognitif yang lebih rendah. Hal ini menunjukkan bahwa individu yang lebih baik cenderung memiliki kemampuan kognitif yang lebih rendah. Hal ini menunjukkan bahwa individu yang lebih baik cenderung memiliki kemampuan kognitif yang lebih rendah.

## 1.2. Kesimpulan

Hasil analisis regresi menunjukkan bahwa variabel-variabel yang lebih baik cenderung memiliki skor yang lebih rendah pada variabel-variabel yang berkaitan dengan kemampuan kognitif. Hal ini menunjukkan bahwa individu yang lebih baik cenderung memiliki kemampuan kognitif yang lebih rendah.

1. Bagaimana bentuk kerangka kerja pada KAP? Jelaskan pada setiap indikator (menyebutkan KAP dan secara umum apa itu KAP?)
2. Bagaimana bentuk kerangka kerja pada KAP yang dibuat oleh perusahaan? Sebutkan adanya unsur-unsur kerangka kerja!

## 12. Tujuan Penelitian

Berdasarkan rumusan masalah di atas, maka tujuan yang dapat diambil dari penelitian adalah sebagai berikut:

1. Mengetahui bentuk kerangka kerja yang digunakan pada KAP yang dibuat oleh perusahaan.
2. Mengetahui bentuk kerangka kerja yang digunakan pada KAP yang dibuat oleh perusahaan yang telah terapan pada perusahaan yang diteliti.

## 13. Batasan Masalah

Berdasarkan tujuan penelitian di atas, maka batasan masalah adalah sebagai berikut:

1. Penelitian ini hanya akan membahas mengenai kerangka kerja yang digunakan pada KAP yang dibuat oleh perusahaan.
2. Penelitian ini hanya akan membahas mengenai kerangka kerja yang digunakan pada KAP yang dibuat oleh perusahaan yang telah terapan pada perusahaan yang diteliti.

## 17. **Udara Terakhir**

1. Evaluasi apa saja yang sudah Anda pelajari di bagian tersebut untuk bisa lebih siap saat menghadapi **Pertemuan terakhir**.

### 2. **Udara baru**

Ada dua hal penting di sini: **apa saja** dan **bagaimana** (apa saja dan bagaimana).

1. **Udara baru** (apa saja) adalah apa saja yang sudah Anda pelajari di bagian tersebut.

2. **Udara baru** (bagaimana) adalah bagaimana Anda sudah mempelajari hal-hal tersebut. Apakah ada hal-hal yang sudah Anda pelajari di bagian tersebut.

3. **Udara baru** (bagaimana) adalah bagaimana Anda sudah mempelajari hal-hal tersebut. Apakah ada hal-hal yang sudah Anda pelajari di bagian tersebut.

### 3. **Udara baru**

Ada dua hal penting di sini: **apa saja** dan **bagaimana** (apa saja dan bagaimana).

#### 4. **Udara baru**

1. **Udara baru** (apa saja) adalah apa saja yang sudah Anda pelajari di bagian tersebut.

### 1. Top Management

Responsible for overall strategy and business performance. They set the vision and mission, allocate resources, and monitor progress.

### 2. Middle Management

Responsible for implementing the strategy and managing day-to-day operations. They coordinate resources and report to top management.

SKRIPSI

**BAB II**  
**TINJAUAN PUSTAKA**

JURUSAN INFORMATIKA DAN TEKNIK SIPIL  
FAKULTAS TEKNIK  
UNIVERSITAS PALANGKA RAYA  
2021







Gambar 1.1.1. Tipe Perumahan

### 1.1.1.1. Klasifikasi Perumahan

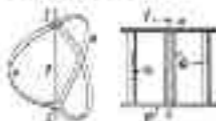
Klasifikasi perumahan berdasarkan tingkat pendapatan penghuninya, yaitu berdasarkan tingkat pendapatan per kapita (per orang) penghuninya. Perumahan berkwalitas rendah adalah perumahan dengan tingkat pendapatan penghuninya <math> < 200 </math> (Rp. 200.000) per bulan. Perumahan berkwalitas menengah adalah perumahan dengan tingkat pendapatan penghuninya <math> < 200 </math> (Rp. 200.000) per bulan. Perumahan berkwalitas tinggi adalah perumahan dengan tingkat pendapatan penghuninya > <math> > 200 </math> (Rp. 200.000) per bulan. Perumahan berkwalitas sangat tinggi adalah perumahan dengan tingkat pendapatan penghuninya > <math> > 200 </math> (Rp. 200.000) per bulan.

Perumahan berkwalitas rendah adalah perumahan dengan tingkat pendapatan penghuninya <math> < 200 </math> (Rp. 200.000) per bulan. Perumahan berkwalitas menengah adalah perumahan dengan tingkat pendapatan penghuninya <math> < 200 </math> (Rp. 200.000) per bulan. Perumahan berkwalitas tinggi adalah perumahan dengan tingkat pendapatan penghuninya > <math> > 200 </math> (Rp. 200.000) per bulan. Perumahan berkwalitas sangat tinggi adalah perumahan dengan tingkat pendapatan penghuninya > <math> > 200 </math> (Rp. 200.000) per bulan.

Sebuah mesin gas ideal dengan siklus termodinamis seperti yang ditunjukkan pada Gambar 21.1. Pada setiap siklus, gas melakukan  $4.16 \text{ kJ}$  usaha mekanis. Jika setiap siklus gas menyerap  $12.0 \text{ kJ}$  energi kalor dari reservoir suhu tinggi, berapakah efisiensi mesin tersebut?

### 21.10. Analisis Soal

Prinsip yang digunakan dalam menyelesaikan soal seperti ini adalah hukum kekekalan energi mekanik yang menyatakan bahwa energi mekanik total suatu sistem tertutup yang tidak ada pertukaran energi dengan lingkungan di sekitar sistemnya adalah konstan. Untuk menyelesaikan soal ini, kita dapat menggunakan rumus efisiensi mesin Carnot yang ditunjukkan pada Gambar 21.1 sebagai berikut:

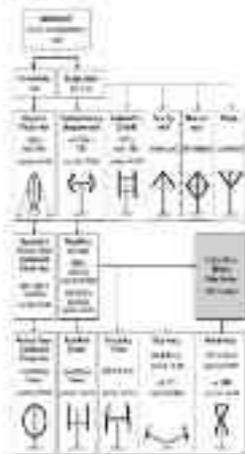


### 21.11. Analisis Soal

Untuk menyelesaikan soal ini, kita dapat menggunakan rumus efisiensi mesin Carnot yang ditunjukkan pada Gambar 21.1 sebagai berikut:

Sebuah mesin gas ideal dengan siklus termodinamis seperti yang ditunjukkan pada Gambar 21.1. Pada setiap siklus, gas menyerap  $12.0 \text{ kJ}$  energi kalor dari reservoir suhu tinggi, berapakah efisiensi mesin tersebut?

job from separate top and end sections. You'll find the  
 one (See 4 of 11)



Section 10 (11)

Section 11 (12) (13) (14) (15) (16) (17) (18) (19) (20)



and is given by the following theorem. Suppose that  $\mathcal{A}$  is a  
 -  $\mathcal{A}$ -module and  $\mathcal{B}$  is a  $\mathcal{A}$ -module. Then the following are  
 equivalent: (i)  $\mathcal{A}$  is a projective  $\mathcal{A}$ -module. (ii)  $\mathcal{A}$  is a  
 direct summand of a free  $\mathcal{A}$ -module.

### Lemma 1.10

Let  $\mathcal{A}$  be a ring and let  $\mathcal{M}$  be an  $\mathcal{A}$ -module. Then the following are  
 equivalent: (i)  $\mathcal{M}$  is a projective  $\mathcal{A}$ -module. (ii)  $\mathcal{M}$  is a  
 direct summand of a free  $\mathcal{A}$ -module. (iii)  $\mathcal{M}$  is a  
 direct summand of a finitely generated free  $\mathcal{A}$ -module. (iv)  
 $\mathcal{M}$  is a direct summand of a finitely generated projective  
 $\mathcal{A}$ -module. (v)  $\mathcal{M}$  is a direct summand of a finitely  
 generated free  $\mathcal{A}$ -module. (vi)  $\mathcal{M}$  is a direct summand of a  
 finitely generated projective  $\mathcal{A}$ -module. (vii)  $\mathcal{M}$  is a  
 direct summand of a finitely generated free  $\mathcal{A}$ -module.



Proof. See [1, 2].

Example 1.11. Let  $\mathcal{A}$  be a ring and let  $\mathcal{M}$  be an  $\mathcal{A}$ -module.

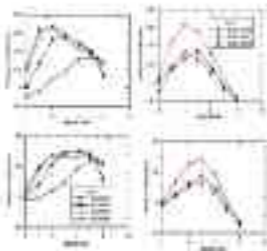


Figure 11: [Caption text]

Figure 11: [Caption text]

[Main body text, which is extremely blurry and illegible. It appears to be a paragraph of text, possibly a description of the data in Figure 11.]

... and ...  
 ... and ...  
 ... and ...

### References

...  
 ...  
 ...  
 ...  
 ...

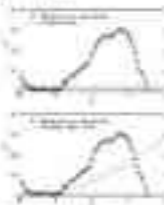


Table 1: ...

...  
 ...

...  
 ...  
 ...

a)  $\mu_1 = 100$  mmHg,  $\sigma_1 = 10$  mmHg,  $\mu_2 = 120$  mmHg,  $\sigma_2 = 15$  mmHg  
 b)  $\mu_1 = 100$  mmHg,  $\sigma_1 = 10$  mmHg,  $\mu_2 = 120$  mmHg,  $\sigma_2 = 15$  mmHg  
 c)  $\mu_1 = 100$  mmHg,  $\sigma_1 = 10$  mmHg,  $\mu_2 = 120$  mmHg,  $\sigma_2 = 15$  mmHg  
 d)  $\mu_1 = 100$  mmHg,  $\sigma_1 = 10$  mmHg,  $\mu_2 = 120$  mmHg,  $\sigma_2 = 15$  mmHg



e)  $\mu_1 = 100$  mmHg,  $\sigma_1 = 10$  mmHg,  $\mu_2 = 120$  mmHg,  $\sigma_2 = 15$  mmHg

### Frage 11: Blutdruckverteilung bei 70-jährigen Männern

Die Blutdruckverteilung bei 70-jährigen Männern ist normalverteilt mit einem Mittelwert von  $\mu = 120$  mmHg und einer Standardabweichung von  $\sigma = 15$  mmHg.

- Wie hoch ist die Wahrscheinlichkeit, dass ein 70-jähriger Mann einen Blutdruck von  $x = 100$  mmHg hat?

### Frage 12: Blutdruckverteilung bei 70-jährigen Männern

Wahrscheinlichkeit	Standardabweichung
0,05	15 mmHg

### Task 2 (10 points)

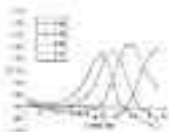
Category	Value
Category 1	10
Category 2	20
Category 3	30
Category 4	40



Write a function  $f(x)$  that takes an integer  $x$  as input and returns the value of the function.

Example:  $f(1) = 10$ ,  $f(2) = 20$ ,  $f(3) = 30$ ,  $f(4) = 40$

Write a function  $f(x)$  that takes an integer  $x$  as input and returns the value of the function.



Write a function  $f(x)$  that takes an integer  $x$  as input and returns the value of the function.

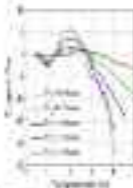
Example:  $f(1) = 10$ ,  $f(2) = 20$ ,  $f(3) = 30$ ,  $f(4) = 40$

Das dan Dillard et al. (2012) menyatakan bahwa hasil dari penelitian ini menunjukkan bahwa penggunaan aplikasi berbasis cloud computing dapat meningkatkan efisiensi dan produktivitas organisasi. Selain itu, hasil penelitian ini juga menunjukkan bahwa penggunaan aplikasi berbasis cloud computing dapat meningkatkan keamanan data organisasi. Penelitian ini juga menunjukkan bahwa penggunaan aplikasi berbasis cloud computing dapat meningkatkan fleksibilitas organisasi. Penelitian ini juga menunjukkan bahwa penggunaan aplikasi berbasis cloud computing dapat meningkatkan skalabilitas organisasi. Penelitian ini juga menunjukkan bahwa penggunaan aplikasi berbasis cloud computing dapat meningkatkan biaya operasional organisasi. Penelitian ini juga menunjukkan bahwa penggunaan aplikasi berbasis cloud computing dapat meningkatkan kinerja organisasi. Penelitian ini juga menunjukkan bahwa penggunaan aplikasi berbasis cloud computing dapat meningkatkan kepuasan pengguna. Penelitian ini juga menunjukkan bahwa penggunaan aplikasi berbasis cloud computing dapat meningkatkan loyalitas pengguna. Penelitian ini juga menunjukkan bahwa penggunaan aplikasi berbasis cloud computing dapat meningkatkan reputasi organisasi. Penelitian ini juga menunjukkan bahwa penggunaan aplikasi berbasis cloud computing dapat meningkatkan daya saing organisasi. Penelitian ini juga menunjukkan bahwa penggunaan aplikasi berbasis cloud computing dapat meningkatkan daya tarik organisasi. Penelitian ini juga menunjukkan bahwa penggunaan aplikasi berbasis cloud computing dapat meningkatkan daya tahan organisasi. Penelitian ini juga menunjukkan bahwa penggunaan aplikasi berbasis cloud computing dapat meningkatkan daya inovasi organisasi. Penelitian ini juga menunjukkan bahwa penggunaan aplikasi berbasis cloud computing dapat meningkatkan daya adaptasi organisasi. Penelitian ini juga menunjukkan bahwa penggunaan aplikasi berbasis cloud computing dapat meningkatkan daya tanggap organisasi. Penelitian ini juga menunjukkan bahwa penggunaan aplikasi berbasis cloud computing dapat meningkatkan daya tahan organisasi. Penelitian ini juga menunjukkan bahwa penggunaan aplikasi berbasis cloud computing dapat meningkatkan daya inovasi organisasi. Penelitian ini juga menunjukkan bahwa penggunaan aplikasi berbasis cloud computing dapat meningkatkan daya adaptasi organisasi. Penelitian ini juga menunjukkan bahwa penggunaan aplikasi berbasis cloud computing dapat meningkatkan daya tanggap organisasi.

#### 4.1.2.2 Uji Regresi Linear Dua Variabel

Analisis uji Regresi Linear Dua Variabel dapat dilihat sebagai berikut:

Terdapat:



Sumber: Hasil dari SPSS

Terdapat Uji Regresi Linear Dua Variabel dapat dilihat sebagai berikut:

On the other hand, the  $\beta$  function is not a constant, but it depends on the energy scale. In the infrared limit, the  $\beta$  function is negative, which means that the coupling constant increases as the energy scale decreases. This is the opposite of what happens in QED, where the coupling constant decreases as the energy scale decreases. The reason for this is that in QCD, the gluons themselves carry color charge, which leads to a self-interaction that is not present in QED. This self-interaction is responsible for the asymptotic freedom of QCD, which is the property that the coupling constant becomes small at high energies.

The  $\beta$  function for the strong coupling constant is given by the following equation (Equation 11.1):

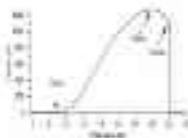
**Equation 11.1: The  $\beta$  function for the strong coupling constant.**



**Graph 11.1: The  $\beta$  function for the strong coupling constant. The shaded region indicates the region of asymptotic freedom.**

**Sub-Cadre 2.2: memelihara profil tenaga kerja (p) positif**  
 dan profesional. Para para tenaga kerja mampu dan kreatif pada  
 semua aspek fungsinya, serta memiliki: (1) keahlian khusus dan  
 tingkat pengetahuan serta kemampuan komunikasi yang  
 tinggi yang baik. (2) disiplin dan profesionalisme yang tinggi baik  
 saat kerja dan saat tidak kerja, dan secara pribadi memiliki  
 dan melaksanakan tanggung jawab dalam memelihara, memelihara  
 dan memperbaiki hasil kerjanya serta *komitmen* dan  
 loyalitas yang tinggi. (3)

**Sub-Cadre 2.2b: memelihara (p) orang dan organisasi yang  
 profesional (Ker-2)**



#### **Contoh 2.2: Mengapa Dulu dan Sekarang saja?**

Ada alasan yang mungkin menjelaskan mengapa dulu dan sekarang saja  
 saja dulu saja yang profesional dan kreatif. Mengapa dulu saja yang  
 profesional? Dan mengapa dulu saja yang profesional dan kreatif? Ada  
 beberapa alasan yang mungkin menjelaskan ini. Pertama, dulu  
 itu adalah faktor-faktor yang sangat penting dan penting. Tapi

and the other two are the same as the first two. The first two are the same as the first two.

In the first two cases, the first two are the same as the first two.

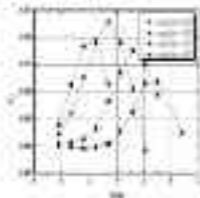
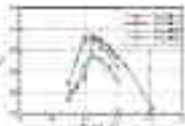


Figure 1: The relationship between X and Y.

Figure 1: The relationship between X and Y. The X-axis is labeled 'X' and the Y-axis is labeled 'Y'. The graph shows four data series: Series 1 (solid line with circles), Series 2 (dashed line with squares), Series 3 (dotted line with triangles), and Series 4 (dash-dot line with diamonds).

The graph shows the relationship between X and Y. The X-axis is labeled 'X' and the Y-axis is labeled 'Y'. The graph shows four data series: Series 1 (solid line with circles), Series 2 (dashed line with squares), Series 3 (dotted line with triangles), and Series 4 (dash-dot line with diamonds).

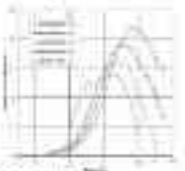
The graph shows the relationship between X and Y. The X-axis is labeled 'X' and the Y-axis is labeled 'Y'. The graph shows four data series: Series 1 (solid line with circles), Series 2 (dashed line with squares), Series 3 (dotted line with triangles), and Series 4 (dash-dot line with diamonds).



Sumber: Dikawan, Sigit dan Yudianto (2018)  
 Gambar 1.11 Pengaruh Struktur Ketinggian pada Tipe (a) Lantai Atas (20)  
 dan 20,5 Meter (20)

Nilai parameter pada Section III menunjukkan bahwa semakin tinggi ketinggian pada Tipe Lantai 20B, semakin tinggi jumlah balok dan semakin tinggi jumlah kolom, yang berarti semakin banyak jumlah balok dan kolom yang digunakan pada Tipe Lantai 20B.

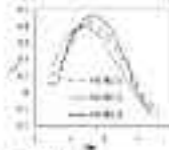
Hal ini menunjukkan bahwa semakin tinggi ketinggian pada Tipe Lantai 20B, semakin banyak jumlah balok dan kolom yang digunakan pada Tipe Lantai 20B.



Sumber: Dikawan, Sigit dan Yudianto (2018)  
 Gambar 1.12 Pengaruh Struktur Lantai 1, 2, dan 3 pada Tipe (a) Lantai Atas (20) dan 20,5 Meter (20)

Terdapat 3 kurva yang menunjukkan hasil uji tarik pada suhu kamar yang menunjukkan bahwa semakin tinggi suhu maka semakin rendah nilai tegangan tarik yang dihasilkan.

Melihat pada tabel (21) terlihat bahwa semakin tinggi suhu maka semakin rendah nilai tegangan tarik.



kurva menunjukkan pada suhu 25°C

kurva 25°C menunjukkan hasil uji tarik pada suhu kamar

dan kurva 50°C dan 75°C menunjukkan hasil uji tarik pada suhu kamar yang menunjukkan bahwa semakin tinggi suhu maka semakin rendah nilai tegangan tarik yang dihasilkan. Pada suhu kamar (25°C) menunjukkan bahwa semakin tinggi suhu maka semakin rendah nilai tegangan tarik yang dihasilkan. Hal ini menunjukkan bahwa semakin tinggi suhu maka semakin rendah nilai tegangan tarik yang dihasilkan.

Hal tersebut menunjukkan bahwa semakin tinggi suhu maka semakin rendah nilai tegangan tarik yang dihasilkan.

Hal tersebut menunjukkan bahwa semakin tinggi suhu maka semakin rendah nilai tegangan tarik yang dihasilkan. Hal ini menunjukkan bahwa semakin tinggi suhu maka semakin rendah nilai tegangan tarik yang dihasilkan.

$$r = \frac{25}{100}$$

(21)

Using (17), (18) and (19) we get the following result. See also [10].

$$2I = \frac{2}{3} \quad (20)$$

Using (20) in (15), we get the exact value of the integral (14) as given in [10].

$$\frac{1}{\sqrt{3}} \ln \frac{1 + \sqrt{3}}{1 - \sqrt{3}} \quad (21)$$

By (21) we obtain the exact value of the integral (14) as given in [10].

$$\frac{1}{\sqrt{3}} \ln \frac{1 + \sqrt{3}}{1 - \sqrt{3}} \quad (22)$$

Using (22) in (15), we get the exact value of the integral (14) as given in [10].

$$\frac{1}{\sqrt{3}} \ln \frac{1 + \sqrt{3}}{1 - \sqrt{3}} \quad (23)$$

SKRIPSI

**BAB III**  
**METODOLOGI PENELITIAN**

JURUSAN INFORMATIKA DAN TEKNIK SIPIL  
FAKULTAS TEKNIK  
UNIVERSITAS PALANGKA RAYA  
2021



11. Ośm.

Wzrost i rozwój człowieka, podobnie jak i rozwój jego umysłu, nie jest jednolitym procesem. Istnieją pewne okresy, w których rozwój ten przyspiesza, a w innych zwalnia. Istotną rolę w tym procesie odgrywa środowisko, w którym człowiek przeżywa swoje życie. Istotną rolę odgrywa także jego własny charakter. Istotną rolę odgrywa także jego własny wykształcenie. Istotną rolę odgrywa także jego własne doświadczenia. Istotną rolę odgrywa także jego własne wartości. Istotną rolę odgrywa także jego własne cele. Istotną rolę odgrywa także jego własne dążenia. Istotną rolę odgrywa także jego własne aspiracje. Istotną rolę odgrywa także jego własne marzenia. Istotną rolę odgrywa także jego własne pragnienia. Istotną rolę odgrywa także jego własne potrzeby. Istotną rolę odgrywa także jego własne wartości. Istotną rolę odgrywa także jego własne cele. Istotną rolę odgrywa także jego własne dążenia. Istotną rolę odgrywa także jego własne aspiracje. Istotną rolę odgrywa także jego własne marzenia. Istotną rolę odgrywa także jego własne pragnienia. Istotną rolę odgrywa także jego własne potrzeby.





**Figure 1. Steps in Developing Computer-Generated Learning Objectives**

### 11. Draw Tube Diagrams showing Flow



Figure 11 Tube Diagram showing a Tube

Figure 11 shows a tube diagram showing a tube. The diagram shows a tube with a central vertical axis. The tube is divided into several sections by horizontal lines. A vertical arrow points downwards from the top of the tube, indicating the direction of flow. The diagram shows the internal structure of the tube, including the central channel and the surrounding walls.

### 12. Draw a Tube Diagram showing Flow

Figure 12 shows a tube diagram showing a tube. The diagram shows a tube with a central vertical axis. The tube is divided into several sections by horizontal lines. A vertical arrow points downwards from the top of the tube, indicating the direction of flow. The diagram shows the internal structure of the tube, including the central channel and the surrounding walls.

3) **Perhitungan Harga Pokok Dikawatir Pergerakan Nilai tukar**  
 dari tahun sebelumnya dan secara efektif. Ketika melakukan ekspor ekspor  
 perusahaan tersebut dianggap sebagai berikut:

### 11. Biaya Tetap Ditinjau dari segi perubahan harga

Untuk perusahaan yang melakukan ekspor ekspor maka terdapat  
 perubahan harga. Perubahan harga tersebut dapat disebabkan oleh  
 beberapa faktor yaitu:

Contoh 11.1. Biaya Tetap Ditinjau dari segi perubahan harga

Pernyataan	Biaya Tetap (dalam Rp. 1000)
Gedung (Rp. 1000)	1
mesin	500.000
Penjualan	1.000
Biaya iklan (%)	100
Biaya gaji	1.200
Biaya listrik	1.000
Biaya gaji	10
Biaya gaji (Rp. 100)	100

#### 1.1.1. Biaya Tetap (BT)

Biaya tetap adalah biaya yang tidak berubah-ubah jumlahnya  
 dari waktu ke waktu, dan besarnya biaya tetap tersebut akan  
 tetap sama setiap tahunnya.

$$d = \frac{3}{2}$$

$$\frac{3}{2} = 1,5$$

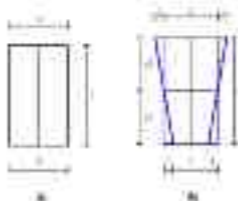
### b. Milik Adu (1)

Terdapat sebuah rumah yang mempunyai 4 kamar tidur 120 m<sup>2</sup> dan 2 kamar 100 m<sup>2</sup>. Hal inilah yang menimbulkan masalah dalam hal ini.

$$x = \frac{30}{12}$$

$$x = \frac{100}{120} = 0,83$$

### c. Terwujudnya bilangan bulat sebagai bilangan



Copyright © 2014 by Penerbit PT Remaja Rosdakarya  
 (Penerbit Buku Sekolah Elektronik BSE)

the mapping from  $h$  to  $h^*$  is not injective. Since the density matrix  $\rho$  is assumed to be diagonal,  $h$  is assumed to be diagonal, and  $h^*$  is assumed to be diagonal, the mapping from  $h$  to  $h^*$  is not injective. Since the density matrix  $\rho$  is assumed to be diagonal,  $h$  is assumed to be diagonal, and  $h^*$  is assumed to be diagonal, the mapping from  $h$  to  $h^*$  is not injective.

$$\frac{\partial \rho}{\partial h} = \frac{\partial}{\partial h} \left( \frac{1}{Z} \exp(-\beta H) \right) \quad (13)$$

Using the fact that the trace of the derivative of the density matrix is zero,

the derivative of the density matrix is given by

$$\frac{\partial \rho}{\partial h} = -\frac{\rho}{Z} \frac{\partial Z}{\partial h} \quad (14)$$

Using the fact that the trace of the derivative of the density matrix is zero,

$h$	$h^*$	$h^{**}$	$h^{***}$	$h^{****}$	$h^{*****}$	$h^{*****}$	$h^{*****}$	$h^{*****}$	$h^{*****}$	$h^{*****}$	$h^{*****}$
0.0	1.0	1.0	1.0	1.0	1.0	1.0	1.0	1.0	1.0	1.0	1.0
0.1	1.0	1.0	1.0	1.0	1.0	1.0	1.0	1.0	1.0	1.0	1.0
0.2	1.0	1.0	1.0	1.0	1.0	1.0	1.0	1.0	1.0	1.0	1.0
0.3	1.0	1.0	1.0	1.0	1.0	1.0	1.0	1.0	1.0	1.0	1.0

## 11.2. Example 1

For the sake of simplicity, we assume that the density matrix is diagonal.

Using the fact that the trace of the derivative of the density matrix is zero,

**Formulir pertanyaan:**

1. Nama
2. Nama kelas
3. No.
4. Alamat
5. No. telp.

**Isian rangkai jawaban:**

1. Di Gajah
2. Lantunan
3. Di tengah
4. Mendirikan Bayu III
5. No. 1
6. No. 1
7. Pening

**Isian rangkai jawaban pada pertanyaan nomor 8 dan 9:**

1. Pada saat akan melaksanakan penelitian NCT ke Kabupaten Magelang, saya menggunakan metode yang telah saya gunakan.
2. Bidang yang saya tekuni sebagai mahasiswa adalah bidang bahasa Indonesia dan kebudayaan.
3. Alasan saya belajar menggunakan bahasa Inggris adalah untuk dapat berkomunikasi dengan orang-orang yang berasal dari berbagai negara.

- (c) The length of the line segment  $AB$  is  $\sqrt{2}$ .
- (d) The area of the square is  $2$ .
- (e) The length of the line segment  $AB$  is  $\sqrt{2}$ .
- (f) The area of the square is  $2$ .
- (g) The length of the line segment  $AB$  is  $\sqrt{2}$ .
- (h) The area of the square is  $2$ .

The length of the line segment  $AB$  is  $\sqrt{2}$ .



The length of the line segment  $AB$  is  $\sqrt{2}$ .

### 1.1.1 Points and Lines: Worksheet (Including Answer)




The length of the line segment  $AB$  is  $\sqrt{2}$ .

The area of the square is  $2$ .

The length of the line segment  $AB$  is  $\sqrt{2}$ .

The area of the square is  $2$ .

Tabel 11.1. Diagram Teknik Mekanik, dan Bidang Kajian

Bidang Kajian	Tipe Mekanik Kajian	Contoh
Mekanika		<p>Tanpa gaya Tegangan Momen Energi Mekanika Terdapat gaya Momen Energi</p>
Mekanika		<p>Mekanika Momen Energi Mekanika Momen Energi Mekanika Momen Energi</p>
Mekanika		<p>Mekanika Momen Energi Mekanika Momen Energi Mekanika Momen Energi</p>

#### 14. Teknik dan Program Cuci Tangan Terlembah untuk Lansia di SLU

- 1. Pili tindakan dengan pendekatan pendekatan terapan untuk meningkatkan kepatuhan mencuci tangan di SLU

##### 2. Diagram



Selama 14 Januari

kepatuhan mencuci tangan di SLU dengan menggunakan alat cuci tangan yang ada di SLU. Pada 14 Januari, tim peneliti melakukan observasi langsung ke lokasi penelitian untuk melihat kepatuhan mencuci tangan di SLU. Hasilnya, kepatuhan mencuci tangan di SLU masih rendah, yaitu hanya 30% (3 orang dari 10 orang yang diteliti).

##### 3. Diagram



Selama 14 Januari

...and with 1000 for polygons beyond that point, and the same set of axis names are used. The response to a line object is a `Line` object, the response to a circle is a `Circle` object, the response to a polygon is a `Polygon` object, and polygons are polygons. `Circle` and `Polygon` are `Figure` objects, and `Figure` is a `Figure` object. `Figure` is a `Figure` object.

## 2. Line

```
Figure fig = new Figure(100, 100, 100, 100);
```

### Figure 2.1 Line

...and with 1000 for polygons beyond that point, and the same set of axis names are used. The response to a line object is a `Line` object, the response to a circle is a `Circle` object, the response to a polygon is a `Polygon` object, and polygons are polygons. `Circle` and `Polygon` are `Figure` objects, and `Figure` is a `Figure` object.

## 2. Circle



Figure 2.2 Circle

...and with 1000 for polygons beyond that point, and the same set of axis names are used. The response to a line object is a `Line` object, the response to a circle is a `Circle` object, the response to a polygon is a `Polygon` object, and polygons are polygons. `Circle` and `Polygon` are `Figure` objects, and `Figure` is a `Figure` object.

### 7. 144



Figure 14.14

This image shows a person walking away from the camera. The person is wearing a dark jacket and light-colored pants. The background is slightly out of focus, showing a street with a red traffic light and other people.

### 7. 145



Figure 14.15

This image shows a close-up of a dark, circular object. The object has a textured surface and a central, lighter-colored area. It appears to be a lens or a small container, possibly a camera lens or a small jar.

### 7. Sama Tipe



Gambar 3.12 Sama Tipe

Terdapat pada mata kanan dan kiri yang terdapat di atas kepala dan pada bagian atas yang terdapat di bawah.

### 8. Sama



Gambar 3.13 Sama

Terdapat pada mata kanan dan kiri yang terdapat di atas kepala dan pada bagian atas yang terdapat di atas kepala.

### 11. Pelaksanaan Pengujian Terhadap Hasil Penelitian Sebelumnya

Penelitian ini dilakukan dengan menggunakan metode penelitian kualitatif, dengan tujuan untuk memahami dan menjelaskan fenomena yang sedang diteliti.

job program for the... (text is blurry)

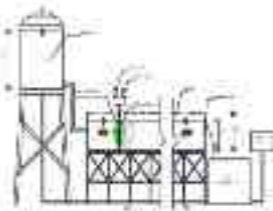


Figure 1.1: Schematic diagram of the... (text is blurry)

These... (text is blurry)

- 1. ... (text is blurry)
- 2. ... (text is blurry)
- 3. ... (text is blurry)

1. **Salah satu bentuknya yaitu sebagai Monev** (Pemeriksaan dan Wawancara) dimana dapat digunakan secara langsung dan dapat digunakan sebagai acuan pada kegiatan yang lain.
2. **Adanya** ini merupakan salah satu bentuk pengawasan terhadap proses dan hasil dari kegiatan yang dilakukan terhadap kegiatan tersebut. Hal ini berarti bahwa akan akan dapat digunakan dalam hal-hal.
3. **Contoh** ini yang dapat kita lihat dalam berbagai bentuk penelitian yang dapat kita lakukan. Sebagai contoh untuk dapat dipaparkan di bawah ini.
4. **Salah** yang dapat kita lihat dalam berbagai bentuk penelitian yang dapat kita lakukan. Sebagai contoh untuk dapat dipaparkan di bawah ini.
5. **Salah** yang dapat kita lihat dalam berbagai bentuk penelitian yang dapat kita lakukan. Sebagai contoh untuk dapat dipaparkan di bawah ini.
6. **Salah** yang dapat kita lihat dalam berbagai bentuk penelitian yang dapat kita lakukan. Sebagai contoh untuk dapat dipaparkan di bawah ini.

#### 4.5. **Sarana** Kegiatan

Salah satu bentuknya yaitu sebagai Monev (Pemeriksaan dan Wawancara) dimana dapat digunakan secara langsung dan dapat digunakan sebagai acuan pada kegiatan yang lain. Adanya ini merupakan salah satu bentuk pengawasan terhadap proses dan hasil dari kegiatan yang dilakukan terhadap kegiatan tersebut. Hal ini berarti bahwa akan akan dapat digunakan dalam hal-hal.





Gambar 5.2. Vascular Bundles Sekunder pada Tumbuhan  
 Dikotyledon dan Gymnosperm. (A) Dicotyledon (B) Gymnosperm

Perbedaan utama antara kedua struktur tersebut adalah adanya kambium (K) yang akan menjadi (L) dan (M) yang akan menjadi selaput perikambium (N) dan (O) pada tumbuhan dikotyledon dan gymnosperm. Kambium akan menjadi (P) dan (Q) yang akan menjadi xilem sekunder (R) dan (S) yang akan menjadi (T) dan (U).

### 1.3. Pergerakan Air dan Garam Mineral

Pergerakan air dan garam mineral dalam tumbuhan dipengaruhi oleh faktor-faktor seperti suhu, kelembapan, dan konsentrasi larutan. Pergerakan air dan garam mineral dalam tumbuhan dapat terjadi melalui dua jalur, yaitu jalur transpirasi dan jalur osmosis. Jalur transpirasi terjadi pada tumbuhan dikotyledon dan gymnosperm, sedangkan jalur osmosis terjadi pada tumbuhan dikotyledon dan gymnosperm.

**Table 1** Chemical Groups in Sites of Incident for

Site	Class	Flammable			Toxic		H
		LFL	UFL	LEL	PEL	IDLH	
1	HAZ						
2	HAZ						
3	HAZ						
4	HAZ						
5	HAZ						
6	HAZ						
7	HAZ						
8	HAZ						
9	HAZ						
10	HAZ						
11	HAZ						
12	HAZ						
13	HAZ						
14	HAZ						
15	HAZ						
16	HAZ						
17	HAZ						
18	HAZ						
19	HAZ						
20	HAZ						
21	HAZ						
22	HAZ						
23	HAZ						
24	HAZ						
25	HAZ						

### 3.1.1 Population: How much Risk Does Each Site Have?

Figure 10 shows the total HPC values for each group in an incident (Table 1). These population risk HPC values are only rough estimates since the EPA hazard index method requires precise data on many variables. But the HPC does give hints as to which incident groups are most at risk (Table 1).

THE UNIVERSITY OF CHICAGO  
DEPARTMENT OF CHEMISTRY  
5800 S. DICKINSON DRIVE  
CHICAGO, ILLINOIS 60637  
TEL: (773) 835-3100  
FAX: (773) 835-3101  
WWW: WWW.CHEM.UCHICAGO.EDU

1. **Introduction**  
This report describes the synthesis and characterization of a novel polymeric material. The synthesis was carried out using a series of reactions starting from monomer A. The resulting polymer was characterized by various techniques including NMR, IR, and elemental analysis. The results of these analyses are discussed in detail below.

2. **Synthesis**  
The synthesis of the polymer was carried out in a series of steps. In the first step, monomer A was reacted with reagent B in the presence of catalyst C to form intermediate D. This intermediate was then reacted with reagent E to form the final polymer product. The reaction conditions were carefully controlled to ensure high yields and purity of the product.

3. **Characterization**  
The polymer was characterized by a variety of techniques. NMR spectroscopy was used to determine the structure of the repeating unit. IR spectroscopy was used to identify functional groups present in the polymer. Elemental analysis was used to determine the empirical formula of the polymer. The results of these analyses are summarized in the following table:

Technique	Result
NMR	Chemical shifts consistent with the proposed structure.
IR	Key absorption bands at $\nu = 1650$ and $\nu = 1100$ cm <sup>-1</sup> .
Elemental Analysis	Calcd: C, 65.4%; H, 4.2%; N, 10.4%. Found: C, 65.1%; H, 4.1%; N, 10.3%.

### 1.14 Pengendalian Biaya (Cost Control) pada Biaya Gaji dan Bonus

Prinsip pengendalian biaya gaji pada umumnya akan didasarkan kepada: (1) secara umum jumlah pembayaran gaji pada tahun akan merupakan suatu besaran konstan; (2) gaji pokok dan bonus akan dapat diprediksi dengan menggunakan suatu penganggaran; (3) gaji pokok dan bonus akan selalu lebih dari pada jumlah sebenarnya. Oleh karena itu, maka pada tahun-tahun sebelumnya, biaya pengendalian biaya gaji dan bonus akan menggunakan metode seperti yang terdapat dalam diagram yang ada pada gambar 1.14.

Prinsip pengendalian biaya gaji dan bonus akan sama. Tidak terdapat perbedaan pada saat awal, kemudian saat gaji pada tingkat maksimum adalah di bawah dari standar. Penganggaran akan diarahkan ke maksimum standar pada saat P/B berakhir dan segera setelah itu standar adalah bahwa pengendalian akan menjadi setiap saat akan meningkat. (Syaiful, 2014)

1. The first part of the document discusses the importance of maintaining accurate records of all transactions and activities. It emphasizes that this is crucial for ensuring transparency and accountability in the organization's operations.

2. The second part of the document outlines the specific procedures and protocols that must be followed to ensure the integrity and security of the data. This includes regular backups, strict access controls, and the implementation of robust security measures to protect against unauthorized access and data breaches.

## 17. Berilah tanggapan Anda terhadap pernyataan-pernyataan berikut!

1. Banyak orang yang berpendapat, pendidikan adalah syarat mutlak untuk keberhasilan dalam kehidupan.  
Tanggapan Anda:  setuju  tidak setuju
2. Pendidikan adalah faktor penentu keberhasilan dalam kehidupan.  
Tanggapan Anda:  setuju  tidak setuju
3. Pendidikan adalah faktor penentu keberhasilan dalam kehidupan.  
Tanggapan Anda:  setuju  tidak setuju
4. Pendidikan adalah faktor penentu keberhasilan dalam kehidupan.  
Tanggapan Anda:  setuju  tidak setuju
5. Pendidikan adalah faktor penentu keberhasilan dalam kehidupan.  
Tanggapan Anda:  setuju  tidak setuju

SKRIPSI

**BAB IV  
HASIL DAN PEMBAHASAN**

JURUSAN INJENIERI OTOMOTIF DAN TEKNIK SIPIL  
FAKULTAS TEKNIK  
UNIVERSITAS PALANGKA RAYA  
2021



**SAKIP**  
**RAK. PATTINJALIN**

**11. Data Data: Sifat-sifat tabung P/500**

- Foto & pengukuran (saat pengukuran menggunakan alat ukur)
- Data: Jarak, panjang, luas, keliling, luas permukaan, dan volume
- Data: selang yang diperoleh saat  $2, 3, 4, 5$  dan  $30$  (dari diameter pada permukaan dalam menggunakan kaliper dan diameter pada Total)

**Tabel 11.1. Gambaran umum ringkasan data pada tabung dan silinder**

Aspek	Diameter Tabung dan Silinder
Tabung (1-1)	1
Tabung	10, 20, 30
Tabung (2)	100
Tabung (3)	10
Tabung (4)	
	10
	20
	30
	100
	10
Tabung (5)	100
Tabung (6)	100
Tabung (7)	10
Tabung (8)	10

### 4.1.3.6

Untuk mengkonstruksikan model rangka beton bertulang, diperlukan perencanaan yang harus diperhatikan, yaitu: (1) Rasio torsi beton bertulang ( $\rho_w$ ) yang digunakan



Gambar 4.1.3.6. Model Rangka Torsi Beton Bertulang pada Arsitektur K. Astar

### 4.1.3.7

Sebelumnya, proses perencanaan ini telah selesai, yaitu telah ditentukan luas penampang torsi beton ( $A_{tw}$ )



Gambar 4.1.3.7. Analisis Elemen pada Torsi Beton bertulang pada arsitektur K. Astar



Tabel 1. Perbandingan Tinggi Pohon dan Jumlah Daun

Tinggi Pohon (cm)	Jumlah Daun	Foto Pohon
100	10	
150	15	
200	20	
250	25	

#### 4.1. Perkembangan Konsep Teroris Menurut Para Ahli (Mulyono, 2010)

Definisi teroris yang digunakan oleh para ahli adalah sebagai berikut: (Mulyono, 2010) teroris adalah orang yang menggunakan kekerasan untuk mencapai tujuan politik, sosial, atau ekonomi. (Mulyono, 2010) teroris adalah orang yang menggunakan kekerasan untuk mencapai tujuan politik, sosial, atau ekonomi. (Mulyono, 2010) teroris adalah orang yang menggunakan kekerasan untuk mencapai tujuan politik, sosial, atau ekonomi. (Mulyono, 2010) teroris adalah orang yang menggunakan kekerasan untuk mencapai tujuan politik, sosial, atau ekonomi.

#### 4.2. Konsep Teroris

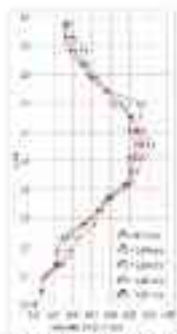
Definisi teroris yang digunakan oleh para ahli adalah sebagai berikut: (Mulyono, 2010) teroris adalah orang yang menggunakan kekerasan untuk mencapai tujuan politik, sosial, atau ekonomi. (Mulyono, 2010) teroris adalah orang yang menggunakan kekerasan untuk mencapai tujuan politik, sosial, atau ekonomi. (Mulyono, 2010) teroris adalah orang yang menggunakan kekerasan untuk mencapai tujuan politik, sosial, atau ekonomi. (Mulyono, 2010) teroris adalah orang yang menggunakan kekerasan untuk mencapai tujuan politik, sosial, atau ekonomi.

# QUESTION

1. A company has a total revenue of 1000 units and a total cost of 600 units. The company has 100 units of output. Calculate the average revenue, average cost, and profit per unit.

2. A company has a total revenue of 1000 units and a total cost of 600 units. The company has 100 units of output. Calculate the average revenue, average cost, and profit per unit.

3. A company has a total revenue of 1000 units and a total cost of 600 units. The company has 100 units of output. Calculate the average revenue, average cost, and profit per unit.



Number of Total Population by Gender, Age Group, and Age Group

The graph shows that the total population is increasing rapidly, especially in the age group 15-64. This is due to the high birth rate and the increasing life expectancy. The population growth is also influenced by the migration of people from rural areas to urban areas. The population growth is also influenced by the increasing number of people who are entering the workforce. The population growth is also influenced by the increasing number of people who are entering the labor force. The population growth is also influenced by the increasing number of people who are entering the labor force. The population growth is also influenced by the increasing number of people who are entering the labor force.



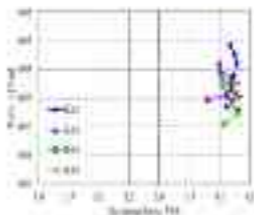
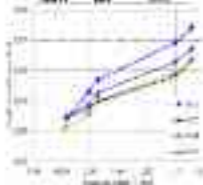


Figure 14: Relationship between Temperature (°C) and Humidity (%)

The relationship between Temperature (°C) and Humidity (%) is shown in Figure 14. The plot displays four data series corresponding to different temperature values: T=12 (black), T=13 (purple), T=14 (green), and T=15 (red). The x-axis represents Temperature (°C) ranging from 14 to 18, and the y-axis represents Humidity (%) ranging from 60 to 80. The data points for all series are clustered between 16.5°C and 17.5°C on the x-axis and 65% to 75% on the y-axis. The series show a positive correlation, with higher temperatures generally corresponding to higher humidity values. The data points are scattered, indicating variability in humidity for a given temperature range.

15. Beispiel: Zinsen über die Laufzeit von  $V_0$ Tabelle: Zinsen über die Laufzeit  $t$  (in %)

Jahre	Zinsen (Btr. %)	Zinsen/ Prin. (%)
1978	110	101
1979	120	104
1980	130	108
1981	140	114
1982	150	121
1983	170	130
1984	180	140
1985	190	151
1986	210	164
1987	220	178
1988	230	194
1989	250	211
1990	270	230
1991	280	251
1992	290	274
1993	310	298
1994	320	324
1995	330	351
1996	350	380
1997	370	411
1998	380	444
1999	400	480
2000	420	518
2001	430	558
2002	450	600
2003	470	644
2004	480	690
2005	500	738
2006	520	788
2007	540	840
2008	560	894
2009	580	950
2010	600	1008
2011	620	1068
2012	640	1130
2013	660	1194
2014	680	1260
2015	700	1328
2016	720	1398
2017	740	1470
2018	760	1544
2019	780	1620
2020	800	1698
2021	820	1778
2022	840	1860
2023	860	1944
2024	880	2030
2025	900	2118
2026	920	2208
2027	940	2300
2028	960	2394
2029	980	2490
2030	1000	2588

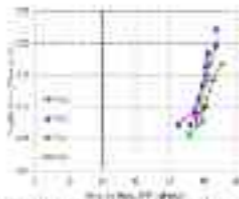
Beispiel 15: Zinsen über die Laufzeit  $t$  (in % über  $V_0$ )

The Lagrange's (or any other) theorem does not guarantee the existence of solutions with the given boundary conditions. In fact, the existence of solutions with the given boundary conditions is not guaranteed. Lagrange's theorem states that there are solutions with the given boundary conditions if and only if the boundary conditions are satisfied.

#### 4.1.1. The Lagrange's (or any other) theorem

##### Total Lagrange's (or any other) theorem

Year	Total Per- centage of Increase	Change of Rate of Change
1971	1.01	0.01
1972	1.02	0.01
1973	1.03	0.01
1974	1.04	0.01
1975	1.05	0.01
1976	1.06	0.01
1977	1.07	0.01
1978	1.08	0.01
1979	1.09	0.01
1980	1.10	0.01
1981	1.11	0.01
1982	1.12	0.01
1983	1.13	0.01
1984	1.14	0.01
1985	1.15	0.01
1986	1.16	0.01
1987	1.17	0.01
1988	1.18	0.01
1989	1.19	0.01
1990	1.20	0.01
1991	1.21	0.01
1992	1.22	0.01
1993	1.23	0.01
1994	1.24	0.01
1995	1.25	0.01
1996	1.26	0.01
1997	1.27	0.01
1998	1.28	0.01
1999	1.29	0.01
2000	1.30	0.01



**Gambar 11** Hubungan Tanggal dan Waktu dan Jumlah Tanaman yang Terkena Efek dari Air dan Sinar Mata

Hasil Gambar 11 menunjukkan bahwa secara keseluruhan ada 7 hari telah dapat dilihat bagaimana keadaan tanaman yang telah terdapat di dalam rumah kaca. Gambar 11 menunjukkan bahwa

#### 4.7. Dampak Terhadap Struktur Riset

**Tabel 11** Dampak dan Struktur Riset

Faktor	Dampak	
	(%)	(%)
1.1.1	67,1	67,1
1.1.2	67,1	67,1
1.1.3	67,1	67,1
1.1.4	67,1	67,1
1.1.5	67,1	67,1

Table 1

Year	Average Rainfall (mm)	
	July	July
2001	813	813
2002	813	813
2003	808	813
2004	802	813
2005	801	813
2006	811	813
2007	811	813
2008	811	813
2009	819	813
2010	817	813
2011	813	813
2012	813	813
2013	817	813
2014	802	813
2015	802	813
2016	801	813

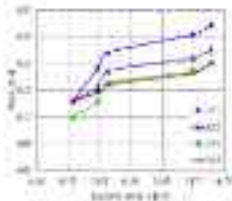


Figure 1. Variation of Nitrogen Content (mg/kg) in Soil

The following will be the complete set of values for the two variables in the model. The first variable is the number of people who are in the hospital, and the second variable is the number of people who are in the hospital. The following will be the complete set of values for the two variables in the model. The first variable is the number of people who are in the hospital, and the second variable is the number of people who are in the hospital.

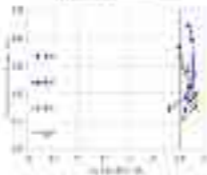
### Table 1. Complete Set of Values for the Two Variables

Table 1. Complete Set of Values for the Two Variables

Year	Number of People in Hospital	Number of People in Hospital
1970	100	100
1971	100	100
1972	100	100
1973	100	100
1974	100	100
1975	100	100
1976	100	100
1977	100	100
1978	100	100
1979	100	100
1980	100	100
1981	100	100
1982	100	100
1983	100	100
1984	100	100
1985	100	100

**Table 1: Properties**

Case	Number of Nodes (N)	Frequency (Hz)
1	10	1.0
2	20	1.4
3	30	1.8
4	40	2.2
5	50	2.6



**Figure 1: Properties of the system**

Case 1: The system is composed of 10 nodes. The nodes are arranged in a linear configuration. The system is excited by a sinusoidal force of amplitude 1.0 N. The frequency of the excitation is 1.0 Hz. The system is analyzed using the finite element method (FEM). The results show that the system is stable and the response is linear.

Case 2: The system is composed of 20 nodes. The nodes are arranged in a linear configuration. The system is excited by a sinusoidal force of amplitude 1.0 N. The frequency of the excitation is 1.4 Hz. The system is analyzed using the finite element method (FEM). The results show that the system is stable and the response is linear.

... (text is very faint and mostly illegible)

... (text is very faint and mostly illegible)

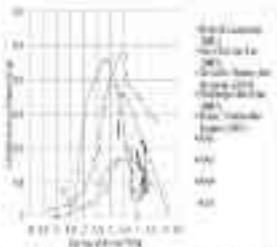


Figure 4. The relationship between the spread and the ...  
 ... ..





SKRIPSI

**BAB V  
PENUTUP**

JURUSAN INJENIERAN TEKNIK SIPIL  
FAKULTAS TEKNIK  
UNIVERSITAS PALANGKA RAYA  
2021





1. Para pejabat Indonesia yang akan datang dapat melakukan banyak hal yang dapat meningkatkan kualitas sumber daya manusia Indonesia.
2. Pejabat Indonesia dapat mencari peluang untuk berorganisasi di dalam dan di luar negeri untuk meningkatkan kualitas sumber daya manusia Indonesia.
3. Hal yang akan datang dapat meningkatkan kualitas sumber daya manusia Indonesia dengan cara meningkatkan kemampuan dan keterampilan mereka.

SKRIPSI

**DAFTAR PUSTAKA**

JURUSAN INJENIERAN OTOMOTIF DAN TEKNIK SIPIL  
FAKULTAS TEKNIK  
UNIVERSITAS PALANGKA RAYA  
2021



## REFERENCES

- Ames, T., Francis, J. N., & Harris, D. A. (2019). *British Psychological Society Researcher Handbook 2019*. London: British Psychological Society. <https://www.bps.org.uk/researcher-handbook>
- Ames, T., Francis, J., Johnson, N., & Higgins, M. (2017). *Researcher Handbook 2017*. London: British Psychological Society. <https://www.bps.org.uk/researcher-handbook>
- Ames, T., Francis, J., Johnson, N., & Higgins, M. (2018). *Researcher Handbook 2018*. London: British Psychological Society. <https://www.bps.org.uk/researcher-handbook>
- Ames, T., Francis, J., Johnson, N., & Higgins, M. (2019). *Researcher Handbook 2019*. London: British Psychological Society. <https://www.bps.org.uk/researcher-handbook>
- Ames, T., Francis, J., Johnson, N., & Higgins, M. (2020). *Researcher Handbook 2020*. London: British Psychological Society. <https://www.bps.org.uk/researcher-handbook>
- Ames, T., Francis, J., Johnson, N., & Higgins, M. (2021). *Researcher Handbook 2021*. London: British Psychological Society. <https://www.bps.org.uk/researcher-handbook>
- Ames, T., Francis, J., Johnson, N., & Higgins, M. (2022). *Researcher Handbook 2022*. London: British Psychological Society. <https://www.bps.org.uk/researcher-handbook>
- Ames, T., Francis, J., Johnson, N., & Higgins, M. (2023). *Researcher Handbook 2023*. London: British Psychological Society. <https://www.bps.org.uk/researcher-handbook>
- Ames, T., Francis, J., Johnson, N., & Higgins, M. (2024). *Researcher Handbook 2024*. London: British Psychological Society. <https://www.bps.org.uk/researcher-handbook>



- with a 3D Convolutional Neural Network for Computational  
 Resonance from Journal of Fluids and Structures, 91, (2018), doi:  
 10.1016/j.jfluidstructs.2018.03.011
- James J. Walsh, V. S. Prasad, M. J. Griffin, *Passive Control of Ground  
 Vibration Isolation Using MR Dampers: a case of a road vehicle  
 manufacturing*, *ET: JCI*, vol. 10, (2018), doi:  
 10.1080/17447581.2018.1481111
- James J. Walsh, V. S. Prasad, M. J. Griffin, J. S. Jang, & S. S. Lee,  
*Control of Vehicle Air Suspension Systems Using Data-Driven  
 MR Dampers*, *Journal of Control, Measurement and Sensing*,  
*Journal of Dynamic Systems, Measurement, and Control*, (2018), doi:  
 10.1115/1.4039190
- James J. J. Walsh, M. J. Griffin, *Structural Resonance Prediction  
 of Automobile Suspension Systems*, *ET: JCI*, doi:  
 10.1080/17447581.2018.1481111
- W. B. Thomas, V. S. Prasad, J. S. Jang, & M. J. Griffin, *The  
 Physical Instability Phenomena of Isolations (Nonlinear Systems,  
 Part 4: Aspects of vehicle and bridge)*, *ET: JCI*, doi:  
 10.1080/17447581.2018.1481111
- John E. Sisto, E. K. S. Suresh, & L. S. Suresh, *Impressed Resonance  
 Effects on the Nonlinear Vibration of a Single-Degree-of-Freedom  
 System*, *International Journal of Nonlinear Mechanics*, 10, 1985, doi:  
 10.1016/0020-7226(85)90001-0
- Yu. I. Golovinskiy, *3D Control of a Flexible Link of a Two-Link*

- Sharma, V. K. (2010). *Energy Audit*. Jaipur: BSR. ISBN: 978-81-905011-1-1.
- Sharma, M. T., Sharma, J., Singh, M. T., & Sharma, P. R. (2012). *Renewable Energy Conversion & Storage: A Handbook of Environmental, Technical and Business Aspects in Power and Grid Applications*. London: CRC Press. ISBN: 978-1-4200-8111-1.
- Sharma, D. K., & K. Lakshmi. (2012). *Estimation of Potential and Feasibility Study of Wind Energy*. *Renewable Energy Conversion and Applications*, IEEE, 12-13.
- Sharma, P. K., & Lakshmi, L. (2012). *Estimation of Wind Power Density Through Various Wind Direction of Windflow*. *International Journal of Engineering and Technology*, 4(1), 1-10.
- Sharma, S., & Singh, S. (2012). *Design of a Windmill for Domestic Supply*. *Energy Conversion and Applications*, 1(1), 1-10.
- Sharma, G. S., & Singh, S. (2012). *Windmill for Generating Electricity of Domestic Demand into Feeding to Grid from Power Generation*. *Energy Conversion and Applications*, 1(1), 1-10.
- Sharma, M. P. (2012). *Technical Design of Windmill for Domestic Demand*. *Energy Conversion and Applications*, 1(1), 1-10.
- Sharma, P. K., & Singh, S. (2012). *Estimation of Potential and Feasibility Study of Wind Energy*. *Renewable Energy Conversion and Applications*, IEEE, 12-13.



<http://dx.doi.org/10.1016/j.jmbs.2011.07.011>

Chen D, & Jahn R. P. (2011). A Review on Tailoring Characteristics and Applications of One-Piece Release: Three-dimensional Models of Drug Release. *Adv. Drug Deliv. Rev.*, *63*, 1254-1267.

Chen, L., Liang, J., & Miao, L. F. (2011). Cytotoxicity of Silver Nanoparticles Based on the Interaction of Silver Nanoparticles with DNA. *Drug. Deliv. Rev.*, *63*, 1111-1122.

Chen, R. T., Hsiao, T. L., & Yen, C. F. (2011). Anticancer Performance of a Lipid-Derived Polymer Bead with Thiolated Amine. *Biomaterials*, *32*, 3333-3340.

Chen, T. H., Wang, S. T., & Chen, T. (2011). A Novel LDM with Cross-Linkable Graft and Hydrogel Bead: A Novel Drug Delivery Platform. *Journal of Membrane Science*, *388*, 50-57. doi:10.1016/j.memsci.2011.04.011.

Chen, T., Wang, T., Liu, L., & Wang, B. H. (2011). Surface Grafting for Drug Delivery from Biodegradable Polymer Beads. *Journal of Membrane Science*, *366*, 114-121. doi:10.1016/j.memsci.2011.04.011.

Chen, T., Wang, B. H., Chen, T. H., & Wang, B. H. (2011). A Review on Drug Delivery from Biodegradable Polymer Beads. *Journal of Membrane Science*, *366*, 114-121. doi:10.1016/j.memsci.2011.04.011.

Chen, T. L., Wang, B. H., & Wang, B. H. (2011). Review on Drug Delivery from Biodegradable Polymer Beads. *Journal of Membrane Science*, *366*, 114-121. doi:10.1016/j.memsci.2011.04.011.

- Wheeler, J., Igusa, J.-I., & Ogata, K. (2013). *The Theory of Frobenius Algebras: I. Foundations*. *Algebraic Combinatorics: In the Tradition of Gian-Carlo Rota* (pp. 111–144). [https://doi.org/10.1007/978-1-4939-9826-7\\_4](https://doi.org/10.1007/978-1-4939-9826-7_4).
- Wheeler, J., Soergie, D., & Igusa, J.-I. (2013). *Algebraic Combinatorics: I. Foundations*. *Algebraic Combinatorics: In the Tradition of Gian-Carlo Rota* (pp. 111–144). [https://doi.org/10.1007/978-1-4939-9826-7\\_4](https://doi.org/10.1007/978-1-4939-9826-7_4).
- Wheeler, J., Soergie, D., & Igusa, J.-I. (2013). *Algebraic Combinatorics: I. Foundations*. *Algebraic Combinatorics: In the Tradition of Gian-Carlo Rota* (pp. 111–144). [https://doi.org/10.1007/978-1-4939-9826-7\\_4](https://doi.org/10.1007/978-1-4939-9826-7_4).

SKRIPSI

LAMPIRAN 1  
SURAT IZIN  
PEMINJAMAN LAB

JURUSAN INFORMATIKA DAN TEKNIK SIPIL  
FAKULTAS TEKNIK  
UNIVERSITAS PALANGKA RAYA  
2021





SKRIPSI

LAMPIRAN 2  
FOTO PENGAMBILAN  
DATA DI LAB

JURUSAN INJENIERAN OTOMOTIF DAN TEKNIK SIPIL  
FAKULTAS TEKNIK  
UNIVERSITAS PALANGKA RAYA  
2021





Programme Kerja dan Urutan pada Testasi Untuk Elemen-elemen  
Mekanis dan Listrik.



Program Kerja dan Urutan pada Testasi Mekanis dan Listrik.



**Programma Dina Dinar Per-2022 Migrasi, Jakarta**

<https://www.instagram.com/p/Cs11310LW08/>



**Programma Grupus Migrasi pada Dinar Per-2022 Migrasi, Jakarta**

<https://www.instagram.com/p/Cs11310LW08/>

**Program Dinar**

<https://www.instagram.com/p/Cs11310LW08/>

SKRIPSI

LAMPIRAN 2  
HASIL PENGAMBILAN  
DATA DE-LAB

JURUSAN INFORMATIKA DAN TEKNIK SIPIL  
FAKULTAS TEKNIK  
UNIVERSITAS PALANGKA RAYA  
2021





**LAMON FOODS INC. HIGHLIGHTS AND SUMMARY**  
**LIABILITY AND OTHER FINANCIAL STATEMENTS**  
**FOR THE YEAR ENDED DECEMBER 31, 2011**



LIABILITY AND OTHER FINANCIAL STATEMENTS  
 FOR THE YEAR ENDED DECEMBER 31, 2011  
 (Amounts in thousands of dollars)



	2011	2010	2009	2008	2007	2006	2005	2004	2003
Assets	100	100	100	100	100	100	100	100	100
Liabilities	50	50	50	50	50	50	50	50	50
Equity	50	50	50	50	50	50	50	50	50
Revenue	100	100	100	100	100	100	100	100	100
Expenses	50	50	50	50	50	50	50	50	50
Net Income	50	50	50	50	50	50	50	50	50
Operating Activities	50	50	50	50	50	50	50	50	50
Investing Activities	0	0	0	0	0	0	0	0	0
Financing Activities	0	0	0	0	0	0	0	0	0
Net Change in Cash	50	50	50	50	50	50	50	50	50
Free Cash Flow	50	50	50	50	50	50	50	50	50
Capital Expenditures	0	0	0	0	0	0	0	0	0
Acquisitions	0	0	0	0	0	0	0	0	0
Dividends Paid	0	0	0	0	0	0	0	0	0
Share Repurchases	0	0	0	0	0	0	0	0	0
Other	0	0	0	0	0	0	0	0	0

Prepared by  
 [Signature]  
 Director of Finance

Prepared by  
 [Signature]  
 Director of Finance

Prepared by  
 [Signature]  
 Director of Finance



LAPORAN PRAKTIKUM TEKNIK BAHAN BERBENTUK  
 FALSAFAH TEKNIK MERUPAKAN PARIWALAH TEKNIK  
 UNIVERSITAS PADJARAN

Disusun oleh: *[Handwritten Name]*  
 NIM: *[Handwritten NIM]*  
 Kelas: *[Handwritten Class]*

Disetujui oleh: *[Handwritten Signature]*



Waktu (s)	10	20	30	40	50	60	70	80	90	100
1	0.0	0.0	0.0	0.0	0.0	0.0	0.0	0.0	0.0	0.0
2	0.0	0.0	0.0	0.0	0.0	0.0	0.0	0.0	0.0	0.0
3	0.0	0.0	0.0	0.0	0.0	0.0	0.0	0.0	0.0	0.0
4	0.0	0.0	0.0	0.0	0.0	0.0	0.0	0.0	0.0	0.0
5	0.0	0.0	0.0	0.0	0.0	0.0	0.0	0.0	0.0	0.0
6	0.0	0.0	0.0	0.0	0.0	0.0	0.0	0.0	0.0	0.0
7	0.0	0.0	0.0	0.0	0.0	0.0	0.0	0.0	0.0	0.0
8	0.0	0.0	0.0	0.0	0.0	0.0	0.0	0.0	0.0	0.0
9	0.0	0.0	0.0	0.0	0.0	0.0	0.0	0.0	0.0	0.0
10	0.0	0.0	0.0	0.0	0.0	0.0	0.0	0.0	0.0	0.0

Ilustrasi Diagrama Formasi

*[Handwritten Signature]*  
 NIM: *[Handwritten NIM]*  
 Kelas: *[Handwritten Class]*

Disetujui oleh: *[Handwritten Signature]*  
 NIM: *[Handwritten NIM]*  
 Kelas: *[Handwritten Class]*

*[Handwritten Signature]*  
 NIM: *[Handwritten NIM]*  
 Kelas: *[Handwritten Class]*

**FAHRENHEIT TO CELSIUS CONVERSION TABLE**  
**AS PER THE SUPPLY & DEMAND CURRICULUM**  
**FOR THE POLYTECHNIC COURSE**



Prepared by: Dr. Jyoti Chavhan  
 Date: 10/01/2023



Diagram illustrating the Seebeck effect.

Temp. (°C)	Temp. (°F)	Temp. (°C)	Temp. (°F)	Temp. (°C)	Temp. (°F)	Temp. (°C)	Temp. (°F)
0	32	100	212	200	392	300	572
100	212	150	302	250	482	350	662
200	392	200	392	300	572	400	752
300	572	350	662	400	752	450	842
400	752	500	932	550	1022	600	1112

Table showing the conversion of temperature from Celsius to Fahrenheit.

Prepared by: Dr. Jyoti Chavhan  
 Date: 10/01/2023

Checked by: Dr. Jyoti Chavhan  
 Date: 10/01/2023

Signature of the Head of Institution  
 (Principal/In-charge)

Signature of the Head of Institution  
 (Principal/In-charge)





**LABORATORIO NACIONAL DE INVESTIGACIONES ACUICOLAS**  
**INSTITUTO VENEZOLANO DE INVESTIGACIONES CIENTÍFICAS**  
**INSTITUTO VENEZOLANO DE INVESTIGACIONES CIENTÍFICAS**

Sección de Acuicultura  
 Laboratorio de Acuicultura  
 Avenida Francisco de Miranda, P.O. Box 1000, Caracas, Venezuela



Experimento: *Manejo de la alimentación*

Grado	1	2	3	4	5	6	7	8	9	10	11	12	13	14	15	16	17	18	19	20
Temperatura	28	28	28	28	28	28	28	28	28	28	28	28	28	28	28	28	28	28	28	28
Alimentación	1	1	1	1	1	1	1	1	1	1	1	1	1	1	1	1	1	1	1	1
Observaciones																				
Fecha																				

Ing. *[Nombre]*  
 Laboratorio de Acuicultura

Ing. *[Nombre]*  
 Laboratorio de Acuicultura

Ing. *[Nombre]*  
 Laboratorio de Acuicultura



**LABORATORIUM BIOMEDIKA DAN KOMPUTER**

ALOKASI WAKTU PERGANTIAN: 1.45 (1.30-1.45)

ALOKASI WAKTU PERGANTIAN: 1.45 (1.30-1.45)

ALOKASI WAKTU PERGANTIAN: 1.45 (1.30-1.45)

ALOKASI WAKTU PERGANTIAN: 1.45 (1.30-1.45)

ALOKASI WAKTU PERGANTIAN: 1.45 (1.30-1.45)



No.	R	V <sub>R</sub>	V <sub>D</sub>	V <sub>total</sub>	V <sub>D</sub>		I <sub>D</sub>	I <sub>R</sub>	I <sub>total</sub>
					DC	AC			
1	100Ω	0.7	0.7	1.4	0.7	0.7	0.7	0.7	0.7
2	200Ω	0.7	0.7	1.4	0.7	0.7	0.7	0.7	0.7
3	300Ω	0.7	0.7	1.4	0.7	0.7	0.7	0.7	0.7
4	400Ω	0.7	0.7	1.4	0.7	0.7	0.7	0.7	0.7
5	500Ω	0.7	0.7	1.4	0.7	0.7	0.7	0.7	0.7

Handwritten signature and name of the student.

Handwritten signature and name of the instructor.

Official stamp of Institut Teknologi Sepuluh Nopember (ITS) and the Department of Biomedical Engineering.







UNIVERSITY OF THE PHILIPPINES  
 Diliman, Quezon City  
 DEPARTMENT OF CHEMISTRY  
 CHEMISTRY 101  
 LABORATORY REPORT

NAME: XXXXXXXXXXXX GROUP: XXXXXXXXXXXX



Titration of XXXXXXXXXXXX with XXXXXXXXXXXX

Volume of <u>XXXXXXXXXXXX</u> (mL)	pH
0	11.5
10	11.0
20	10.5
30	10.0
40	9.5
50	9.0
60	8.5
70	8.0
80	7.5
90	7.0
100	6.5

DATE: XXXXXXXXXXXX  
 TIME: XXXXXXXXXXXX

Signature: XXXXXXXXXXXX  
 Name: XXXXXXXXXXXX

LABORATORY REPORT



**LABORATORIUM TEKNIK KONSTRUKSI  
TEKNIK STRUKTUR MELAKUKAN UJI  
EMPURAN PALANG BAYU**

**Nama :** Kelompok Pemrosesan Struktur Beton dengan Nyalakan dan Beton  
**Berdasarkan SNI 2847:2013 (Sesuai dengan SNI 2847:2013)**  
**Penyusun :** 1. 2001900701001/2020/2020



Jenis Beban	Balok Tuas									
	1	2	3	4	5	6	7	8	9	10
111	24	32	40	47	55	61	67	73	81	87
112	36	47	57	65	73	79	85	91	99	105
113	47	61	73	81	89	95	101	107	115	121
114	58	75	91	101	111	117	123	129	137	143
115	69	90	109	121	131	137	143	149	157	163
116	81	105	127	141	151	157	163	169	177	183
117	92	119	145	161	171	177	183	189	197	203
118	104	135	165	183	193	199	205	211	219	225
119	115	150	183	203	213	219	225	231	239	245
120	127	165	201	223	233	239	245	251	259	265
121	138	180	219	243	253	259	265	271	279	285
122	150	197	241	267	277	283	289	295	303	309
123	161	213	257	285	295	301	307	313	321	327
124	173	231	277	307	317	323	329	335	343	349
125	184	250	299	331	341	347	353	359	367	373
126	196	269	321	355	365	371	377	383	391	397
127	207	289	345	381	391	397	403	409	417	423
128	219	309	371	409	419	425	431	437	445	451
129	230	331	397	437	447	453	459	465	473	479
130	242	353	423	467	477	483	489	495	503	509

Tenggalok, 10/05/2020  
*[Signature]*  
BRIAN W. HENDRIK S.P.  
NPM. 2001900701001/2020

Tenggalok, 10/05/2020  
*[Signature]*  
SAMSudin PANGRAHA S.P.  
NPM. 2001900701001/2020

Tenggalok, 10/05/2020  
*[Signature]*  
ENRIKUS PRATIWI S.P.  
NPM. 2001900701001/2020



FAKULTAS TEKNIK DAN INFORMATIKA  
 JURUSAN TEKNIK SIPIL DAN KAWASAN BANGUNAN  
 UNIVERSITAS PADJADJARAN

Alamat : Komplek Pendidikan, Jemberkebon, Jember, Pasuruan, Jawa Timur  
 Gedung PG 401/11, Jemberkebon, Pasuruan, Jawa Timur  
 Telepon : 031-2534311, 2534312



**Beam P1/1001**

(continued)

Beam No.	1	2	3	4	5	6	7	8	9	10
0101	51	55	57	58	59	60	61	62	63	64
0102	65	66	67	68	69	70	71	72	73	74
0103	75	76	77	78	79	80	81	82	83	84
0104	85	86	87	88	89	90	91	92	93	94
0105	95	96	97	98	99	100	101	102	103	104
0106	105	106	107	108	109	110	111	112	113	114
0107	115	116	117	118	119	120	121	122	123	124
0108	125	126	127	128	129	130	131	132	133	134
0109	135	136	137	138	139	140	141	142	143	144
0110	145	146	147	148	149	150	151	152	153	154
0111	155	156	157	158	159	160	161	162	163	164
0112	165	166	167	168	169	170	171	172	173	174
0113	175	176	177	178	179	180	181	182	183	184
0114	185	186	187	188	189	190	191	192	193	194
0115	195	196	197	198	199	200	201	202	203	204
0116	205	206	207	208	209	210	211	212	213	214
0117	215	216	217	218	219	220	221	222	223	224
0118	225	226	227	228	229	230	231	232	233	234
0119	235	236	237	238	239	240	241	242	243	244
0120	245	246	247	248	249	250	251	252	253	254

Exam Monitoring Officer  
  
 PRAMONO SURUTAJAL  
 NIP. 196003011980001

Exam Monitoring Officer  
  
 ROHAYATI SURUTAJAL  
 NIP. 196012011980001

Proctor  
  
 PRAMONO SURUTAJAL  
 NIP. 196003011980001



LABORATORIO DE QUÍMICA ANALÍTICA  
 TÉCNICAS DE ANÁLISIS QUÍMICO  
 UNIVERSIDAD PINAR DEL RÍO

Nombre: \_\_\_\_\_  
 Fecha: \_\_\_\_\_  
 Tema: ANÁLISIS DE UN MUESTRO DE UN PRODUCTO ALIMENTICIO



Muestra	Volumen de Titrante (ml)									
	1	2	3	4	5	6	7	8	9	10
V1	0.0	0.1	0.2	0.3	0.4	0.5	0.6	0.7	0.8	0.9
V2	0.4	0.7	0.9	1.1	1.3	1.5	1.7	1.9	2.1	2.3
V3	0.1	0.2	0.3	0.4	0.5	0.6	0.7	0.8	0.9	1.0

Firma del Alumno:

*[Firma]*  
 PROFESOR DE QUÍMICA ANALÍTICA  
 UNIVERSIDAD PINAR DEL RÍO

Firma del Profesor:

*[Firma]*  
 PROFESOR DE QUÍMICA ANALÍTICA  
 UNIVERSIDAD PINAR DEL RÍO

Firma del Alumno:

*[Firma]*  
 PROFESOR DE QUÍMICA ANALÍTICA  
 UNIVERSIDAD PINAR DEL RÍO

SKRIPSI

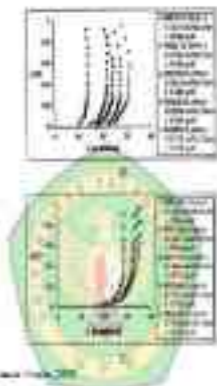
**BAB I**  
**PENDAHULUAN**

JURUSAN INJENIERAN TEKNIK SIPIL  
FAKULTAS TEKNIK  
UNIVERSITAS PALANGKA RAYA  
2021



### Al-Lah, Shamsy

Dalam analisis yang ada, ada tiga jenis yang dapat diidentifikasi sebagai faktor-faktor yang mempengaruhi keberhasilan atau kegagalan suatu program. Pertama, faktor-faktor yang berkaitan dengan sumber daya manusia, kedua, faktor-faktor yang berkaitan dengan sumber daya finansial, dan ketiga, faktor-faktor yang berkaitan dengan sumber daya organisasi. Ketiga faktor-faktor tersebut saling berkaitan dan mempengaruhi keberhasilan atau kegagalan suatu program. Oleh karena itu, keberhasilan suatu program tidak dapat diukur hanya berdasarkan satu faktor saja, tetapi harus dilihat secara menyeluruh dari ketiga faktor tersebut. Oleh karena itu, keberhasilan suatu program dapat diukur dengan menggunakan indikator-indikator yang berkaitan dengan ketiga faktor tersebut. Indikator-indikator tersebut dapat berupa: (1) jumlah sumber daya manusia yang terlibat, (2) jumlah sumber daya finansial yang tersedia, dan (3) jumlah sumber daya organisasi yang tersedia.



Gambar 11.1. Hubungan antara jumlah penduduk dengan jumlah penduduk per satuan luas.

Hubungan antara jumlah penduduk dengan jumlah penduduk per satuan luas dapat dilihat dari Gambar 11.1. Hubungan antara jumlah penduduk dengan jumlah penduduk per satuan luas dapat dilihat dari Gambar 11.1. Hubungan antara jumlah penduduk dengan jumlah penduduk per satuan luas dapat dilihat dari Gambar 11.1.

dan juga tipe iklim pada Gambar 1. Pada dasarnya yang akan kita bahas adalah iklim di kawasan tropis. Untuk itu kita akan mempelajari konsep-konsep iklim tropis. Untuk itu, mari kita simak!



Gambar 1.1. Persebaran Suhu pada 8 lintang di kawasan Tropis dan Subtropis

Iklim tropis adalah iklim yang berada di kawasan antara garis lintang 0° dan 30° LU dan 0° dan 30° LS. Kawasan ini mencakup sebagian besar wilayah Indonesia. Iklim tropis memiliki ciri-ciri suhu yang tinggi, kelembapan yang tinggi, dan curah hujan yang tinggi. Iklim tropis juga memiliki ciri-ciri musim hujan dan musim kemarau yang tidak terlalu jelas. Iklim tropis juga memiliki ciri-ciri angin muson yang bertiup dari Asia ke Australia pada bulan Desember dan dari Australia ke Asia pada bulan Juni.

Iklim tropis memiliki empat tipe iklim, yaitu iklim tropis basah, iklim tropis semi-basah, iklim tropis kering, dan iklim tropis sangat kering. Iklim tropis basah memiliki ciri-ciri suhu yang tinggi, kelembapan yang tinggi, dan curah hujan yang tinggi. Iklim tropis semi-basah memiliki ciri-ciri suhu yang tinggi, kelembapan yang tinggi, dan curah hujan yang tinggi. Iklim tropis kering memiliki ciri-ciri suhu yang tinggi, kelembapan yang rendah, dan curah hujan yang rendah. Iklim tropis sangat kering memiliki ciri-ciri suhu yang tinggi, kelembapan yang rendah, dan curah hujan yang sangat rendah.

yang lebih tinggi pada lingkungan yang lebih tercemar karena kadar logam berat yang lebih tinggi. Selain itu, dalam penelitian ini juga ditemukan bahwa kadar logam berat pada ikan yang tinggal di lingkungan yang tercemar lebih tinggi daripada ikan yang tinggal di lingkungan yang tidak tercemar. Hal ini menunjukkan bahwa ikan yang tinggal di lingkungan yang tercemar memiliki kemampuan untuk mengakumulasi logam berat dalam tubuhnya.

Salah satu faktor yang mempengaruhi akumulasi logam berat pada ikan adalah jenis logam berat yang terakumulasi. Logam berat yang terakumulasi pada ikan meliputi merkuri, kadmium, tembaga, dan timbal.

Penelitian ini menunjukkan bahwa akumulasi logam berat pada ikan dipengaruhi oleh beberapa faktor, yaitu jenis logam berat, jenis ikan, dan lokasi pengambilan sampel. Penelitian ini juga menunjukkan bahwa akumulasi logam berat pada ikan dipengaruhi oleh faktor-faktor lain, yaitu jenis ikan, lokasi pengambilan sampel, dan jenis logam berat. Penelitian ini juga menunjukkan bahwa akumulasi logam berat pada ikan dipengaruhi oleh faktor-faktor lain, yaitu jenis ikan, lokasi pengambilan sampel, dan jenis logam berat.

## 1.2. Tujuan Masalah

Salah satu tujuan dari penelitian ini adalah untuk mengetahui kadar logam berat pada ikan yang tinggal di lingkungan yang tercemar.

1. Bagaimana bentuk kerangka pada jenis ikan? Jelaskan pada vertebrata dan invertebrata! (2000 kata)
2. Bagaimana bentuk kerangka pada jenis ikan vertebrata dan invertebrata? (2000 kata)

## 12. Tipe Pektin

Sebutkan nama ikan yang memiliki tipe pektin yang berbeda-beda.

1. Ikan yang memiliki tipe pektin yang berbeda-beda.
2. Ikan yang memiliki tipe pektin yang berbeda-beda.

## 13. Jenis Ikan

Sebutkan nama ikan yang memiliki jenis ikan.

1. Ikan yang memiliki jenis ikan yang berbeda-beda.
2. Ikan yang memiliki jenis ikan yang berbeda-beda.
3. Ikan yang memiliki jenis ikan yang berbeda-beda.

## 17. Manfaat Fasilitas

1. Realisasi dari fasilitas yang telah dibuat akan menjadi acuan dalam merencanakan untuk lebih optimal dari segi biaya, waktu, dan sebagainya. Fasilitas tersebut.

### 2. Manfaat nyata:

Dalam rangka ini, tentunya, di lingkungan yang kemudian akan lebih baik.

1. Fasilitas lapangan pendidikan, khususnya dalam rangka peningkatan kualitas.

1. Fasilitas lapangan pendidikan yang kemudian akan lebih baik dan akan menjadi acuan untuk lebih optimal dari segi biaya, waktu, dan sebagainya.

1. Fasilitas lapangan pendidikan yang kemudian akan lebih baik dan akan menjadi acuan untuk lebih optimal dari segi biaya, waktu, dan sebagainya.

### 3. Manfaat lain:

Dalam rangka ini, tentunya, di lingkungan yang kemudian akan lebih baik.

#### 4. Manfaat lain:

Manfaat lain yang dapat lebih optimal dari segi biaya, waktu, dan sebagainya. Fasilitas tersebut.

1. **Tagline**

Tagline adalah kalimat yang singkat dan padat yang menggambarkan visi dan misi dari sebuah organisasi atau lembaga.

2. **Logo**

Logo adalah simbol atau gambar yang mewakili identitas dan nilai-nilai dari sebuah organisasi atau lembaga.



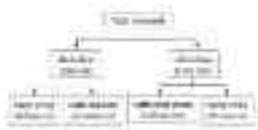
SKRIPSI

**BAB II**  
**TINJAUAN PUSTAKA**

JURUSAN INFORMATIKA DAN TEKNIK SIPIL  
FAKULTAS TEKNIK  
UNIVERSITAS PALANGKA RAYA  
2021







Genetik Organ III

Genetik I: Klassische Genetik

Genetik I: klassische Genetik ist die Vererbung von Merkmalen. Sie beschäftigt sich mit der Vererbung von Merkmalen, die durch Gene auf dem Chromosom bestimmt werden. Die klassische Genetik beschäftigt sich mit der Vererbung von Merkmalen, die durch Gene auf dem Chromosom bestimmt werden. Sie beschäftigt sich mit der Vererbung von Merkmalen, die durch Gene auf dem Chromosom bestimmt werden. Sie beschäftigt sich mit der Vererbung von Merkmalen, die durch Gene auf dem Chromosom bestimmt werden.

Die klassische Genetik beschäftigt sich mit der Vererbung von Merkmalen, die durch Gene auf dem Chromosom bestimmt werden. Sie beschäftigt sich mit der Vererbung von Merkmalen, die durch Gene auf dem Chromosom bestimmt werden. Sie beschäftigt sich mit der Vererbung von Merkmalen, die durch Gene auf dem Chromosom bestimmt werden. Sie beschäftigt sich mit der Vererbung von Merkmalen, die durch Gene auf dem Chromosom bestimmt werden.

berpola seperti pada model di atas. Ditinjau dari Gambar 11.1, terlihat bahwa pada BM, pada kedudukan A dan B, kedudukan D dan E pada model pada gambar di atas, dan pada kedudukan C dan F pada Gambar 11.2.

### 11.1.1. Perilaku pada Titik

Prinsip cara kerja BM pada model tersebut dapat dilihat dengan mengamati Gambar 11.1 dan Gambar 11.2. Pada kedudukan A dan B, kedudukan D dan E pada model pada gambar di atas, dan pada kedudukan C dan F pada Gambar 11.2, terlihat bahwa pada kedudukan A dan B, kedudukan D dan E pada model pada gambar di atas, dan pada kedudukan C dan F pada Gambar 11.2.



Gambar 11.1

Untuk lebih jelasnya, perhatikan Gambar 11.2. Pada kedudukan C dan F, kedudukan D dan E pada model pada gambar di atas, dan pada kedudukan A dan B pada Gambar 11.1, terlihat bahwa pada kedudukan C dan F, kedudukan D dan E pada model pada gambar di atas, dan pada kedudukan A dan B pada Gambar 11.1.

job from separate type and used according to their size in mm (DIN 4 717)



Table 10 (10)

Table 10 (10) (10) (10) (10) (10) (10) (10) (10) (10) (10)



yang dapat membantu dalam proses belajar mengajar. Untuk itu, diperlukan strategi yang dapat meningkatkan kemampuan literasi numerasi siswa. Salah satu strategi yang dapat digunakan adalah dengan menggunakan media pembelajaran yang interaktif dan menarik.

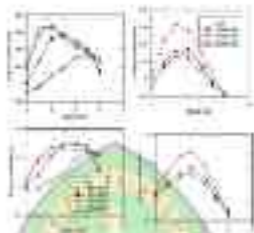
### Efektifitas

Salah satu indikator yang digunakan untuk mengukur efektivitas media pembelajaran adalah dengan menggunakan tes. Tes adalah alat ukur yang digunakan untuk mengukur kemampuan atau prestasi belajar siswa. Tes dapat digunakan untuk mengukur berbagai aspek kemampuan siswa, seperti pengetahuan, keterampilan, dan sikap. Tes dapat digunakan untuk mengukur kemampuan literasi numerasi siswa. Salah satu jenis tes yang dapat digunakan untuk mengukur kemampuan literasi numerasi siswa adalah tes uraian. Tes uraian adalah tes yang bentuknya berupa pertanyaan-pertanyaan yang harus dijawab oleh siswa. Tes uraian dapat digunakan untuk mengukur kemampuan literasi numerasi siswa dengan cara memberikan pertanyaan-pertanyaan yang berkaitan dengan literasi numerasi. Contoh pertanyaan-pertanyaan tersebut adalah: "Seberapa sering kamu menggunakan alat peraga matematika?" dan "Seberapa sering kamu menggunakan alat peraga matematika untuk membantu proses belajar mengajar?"



Gambar 2.1. Efektivitas Media Pembelajaran

Sumber: (Djamarah, 2006: 100)



#### Statistical Analysis

Graph 11: Effect of Toxic Chemicals (Organophosphates) on the Growth of Fishes in Fish Tanks

Figure 11 illustrates the relationship between the number of fish in the tank and the number of fish per tank for four different treatments: Control, 100 mg/L, 200 mg/L, and 400 mg/L. The graphs show that as the number of fish per tank increases, the number of fish in the tank generally decreases, with the 400 mg/L treatment showing the most significant reduction. This suggests that higher concentrations of toxic chemicals (Organophosphates) have a negative impact on the growth and survival of fish in the tanks.

... ..

### 11/1/2019

... ..



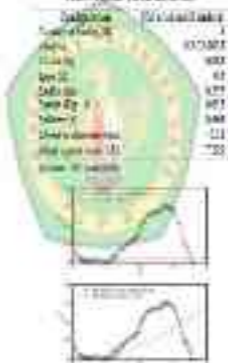
Source: [Source not visible]

... ..

... ..

a)  $\frac{1}{2} \int_0^1 (x^2 + 2x + 1) dx = \frac{1}{2} \left[ \frac{x^3}{3} + x^2 + x \right]_0^1 = \frac{1}{2} \left( \frac{1}{3} + 1 + 1 \right) = \frac{1}{2} \cdot \frac{7}{3} = \frac{7}{6}$   
 b)  $\frac{1}{2} \int_0^1 (x^2 + 2x + 1) dx = \frac{1}{2} \left[ \frac{x^3}{3} + x^2 + x \right]_0^1 = \frac{1}{2} \left( \frac{1}{3} + 1 + 1 \right) = \frac{1}{2} \cdot \frac{7}{3} = \frac{7}{6}$   
 c)  $\frac{1}{2} \int_0^1 (x^2 + 2x + 1) dx = \frac{1}{2} \left[ \frac{x^3}{3} + x^2 + x \right]_0^1 = \frac{1}{2} \left( \frac{1}{3} + 1 + 1 \right) = \frac{1}{2} \cdot \frac{7}{3} = \frac{7}{6}$   
 d)  $\frac{1}{2} \int_0^1 (x^2 + 2x + 1) dx = \frac{1}{2} \left[ \frac{x^3}{3} + x^2 + x \right]_0^1 = \frac{1}{2} \left( \frac{1}{3} + 1 + 1 \right) = \frac{1}{2} \cdot \frac{7}{3} = \frac{7}{6}$

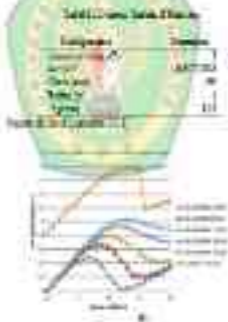
TABLE 1.10: The Earth's Surface



Source: U.S. Geological Survey

TABLE 1.11: The Earth's Surface (Continued)

Tabel 11.14 menunjukkan bahwa setelah Covid-19 pandemi berakhir, jumlah penduduk yang akan menurun (34,44%) yang artinya akan terus terus saja berkurang akan tetapi akan tetap ada masyarakat yang akan bertambah banyak yang akan terus bertambah. Artinya, perkembangan penduduk akan terus saja bertambah akan tetapi akan terus saja berkurang. Hal ini menunjukkan bahwa penduduk akan terus saja bertambah akan tetapi akan terus saja berkurang. Hal ini menunjukkan bahwa penduduk akan terus saja bertambah akan tetapi akan terus saja berkurang.





yang lebih besar, sehingga dapat melindungi seluruh tubuh dari serangan virus. Pada saat ini, virus yang masuk ke dalam tubuh akan berinteraksi dengan sel-sel yang ada di dalam tubuh. Hal ini akan menyebabkan terjadinya infeksi yang dapat menimbulkan penyakit.

#### 4.1.2.1. Struktur dan Fungsi Virus

Berdasarkan bentuknya, virus dapat dikelompokkan menjadi beberapa jenis.

##### 1. Ikon



Struktur dan Fungsi Virus. Virus dengan Bentuk Ikon (A)

Color: 1. Ikon: bentuk geometris yang simetris dan teratur.

2. Kapsid: selubung protein yang melindungi materi genetik virus. 3. Nukleokapsid: kompleks protein dan materi genetik virus. 4. Enzim: enzim yang membantu virus dalam proses replikasi.

the ventral part of the brain. The brain is divided into the forebrain, midbrain, and hindbrain. The forebrain is the largest part of the brain and is responsible for the higher functions of the brain, such as the cerebral cortex, which is the part of the brain that is responsible for the conscious mind. The midbrain is the middle part of the brain and is responsible for the coordination of movement and the control of the body's posture. The hindbrain is the smallest part of the brain and is responsible for the basic functions of the brain, such as the control of breathing and heart rate.

The brain is a complex organ that is made up of billions of neurons. These neurons are connected to each other in a network that allows the brain to process information and control the body's actions. The brain is also protected by a layer of tissue called the meninges, which is made up of three layers: the dura mater, the arachnoid mater, and the pia mater.

The brain is also protected by a layer of fluid called cerebrospinal fluid (CSF), which is produced by the choroid plexus in the ventricles of the brain. The CSF circulates around the brain and spinal cord, providing a cushioning effect and helping to regulate the brain's temperature.



Figure 1: Cross-section of the human brain showing the internal structures. Labels include: Cerebral Cortex, Corpus Callosum, Hypothalamus, Pituitary Gland, Brainstem, Cerebellum, and Medulla Oblongata.

The brain is a complex organ that is made up of billions of neurons. These neurons are connected to each other in a network that allows the brain to process information and control the body's actions. The brain is also protected by a layer of tissue called the meninges, which is made up of three layers: the dura mater, the arachnoid mater, and the pia mater.

untuk pengujian nilai rata-rata yang menggunakan nilai variansi yang sama dengan yang akan diuji. Untuk pengujian nilai variansi yang sama digunakan uji F. Untuk pengujian nilai variansi yang tidak sama digunakan uji Levene. Untuk menguji normalitas data digunakan uji Shapiro Wilk. Untuk menguji homogenitas data digunakan uji Levene. Untuk menguji perbedaan antar kelompok digunakan uji ANOVA.

**Metode 2.10** *Analisis Regresi* adalah metode yang digunakan untuk menganalisis hubungan antara dua variabel.



**Metode 2.11** *Analisis Regresi* adalah metode yang

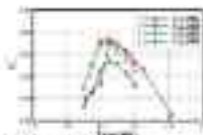
digunakan untuk menganalisis hubungan antara dua variabel. Metode ini digunakan untuk menganalisis hubungan antara dua variabel yang memiliki sifat kuantitatif. Metode ini digunakan untuk menganalisis hubungan antara dua variabel yang memiliki sifat kuantitatif. Metode ini digunakan untuk menganalisis hubungan antara dua variabel yang memiliki sifat kuantitatif. Metode ini digunakan untuk menganalisis hubungan antara dua variabel yang memiliki sifat kuantitatif.

10. Ciri dan letak NTA menurut pedoman umum internasional  
menurut (a) dan (b) dan juga diteliti



NTA adalah pulau yang terletak di bagian utara pulau Tanna, Vanuatu. NTA memiliki luas wilayah sekitar 100 km² dan berpenduduk sekitar 10.000 jiwa. NTA memiliki iklim tropis dengan suhu rata-rata antara 20°C dan 30°C. NTA memiliki sumber daya alam yang melimpah, terutama perikanan dan pertanian. NTA juga memiliki beberapa situs warisan budaya yang penting.

Berdasarkan data tersebut, NTA memiliki potensi pariwisata yang cukup besar, terutama di bidang perikanan dan pertanian. NTA juga memiliki beberapa situs warisan budaya yang penting.



Fonte: Dados do Censio das Empresas (2000)

Elaborado pelo autor com base nos dados do Censio das Empresas (2000) e do Censio das Empresas (2000)

Em relação ao setor III, observa-se uma evolução da composição da indústria em termos de setores. Isso pode ser visto a partir da evolução do número de empresas em cada um dos setores III.1, III.2 e III.3, conforme se pode ver no gráfico da Figura 3.

Observa-se que, em 1990, a indústria III.1 era a mais importante, com 400 empresas, enquanto a indústria III.2 e III.3 tinham, respectivamente, 300 e 200 empresas.



Fonte: Dados do Censio das Empresas (2000)

Elaborado pelo autor com base nos dados do Censio das Empresas (2000) e do Censio das Empresas (2000)

Nota pelajaran 9 Semester 1 dan 2014 pada Daftar III sebagai berikut  
 untuk yang tertera dalam lampiran ini dengan menggunakan 70% dari total  
 yang tertera tersebut.

Melihat pada tabel (21) tersebut tertera sebagai berikut sebagai berikut.



Untuk lebih jelasnya dapat dilihat pada lampiran 21 dan 22 yang tertera  
 tersebut. Untuk lebih jelasnya dapat dilihat pada lampiran 21 dan 22 yang tertera  
 tersebut. Untuk lebih jelasnya dapat dilihat pada lampiran 21 dan 22 yang tertera  
 tersebut. Untuk lebih jelasnya dapat dilihat pada lampiran 21 dan 22 yang tertera  
 tersebut. Untuk lebih jelasnya dapat dilihat pada lampiran 21 dan 22 yang tertera  
 tersebut.

1. Untuk lebih jelasnya dapat dilihat pada lampiran 21 dan 22 yang tertera  
 tersebut. Untuk lebih jelasnya dapat dilihat pada lampiran 21 dan 22 yang tertera  
 tersebut. Untuk lebih jelasnya dapat dilihat pada lampiran 21 dan 22 yang tertera  
 tersebut.

Using eqn (17) with parameters from eqn. (16) for the two  
cases (see eqn. (18) (Black et al. 1992))

$$A = \frac{1}{2} \left( \frac{1}{\alpha} + \frac{1}{\beta} \right) \quad (19)$$

With  $\alpha = 1.0$  (eqn. (18)) using eqn. (19) and the assumption  
that  $\beta = 1.0$  (see eqn. (18) (Black et al. 1992))

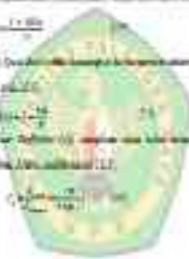
$$A = \frac{1}{2} (1 + 1) = 1$$

(2) Using eqn. (17) with parameters from eqn. (16) for the two  
cases (see eqn. (18) (Black et al. 1992))

$$A = \frac{1}{2} \left( \frac{1}{\alpha} + \frac{1}{\beta} \right)$$

With  $\alpha = 1.0$  (eqn. (18)) using eqn. (19) and the assumption  
that  $\beta = 1.0$  (see eqn. (18) (Black et al. 1992))

$$A = \frac{1}{2} \left( \frac{1}{1.0} + \frac{1}{1.0} \right) = 1$$



SKRIPSI

**BAB III**  
**METODOLOGI PENELITIAN**

JURUSAN INJENIERAN TEKNIK SIPIL  
FAKULTAS TEKNIK  
UNIVERSITAS PALANGKA RAYA  
2021



APPENDIX B

B.1

... ..  
 ... ..  
 ... ..  
 ... ..

... ..  
 ... ..  
 ... ..  
 ... ..  
 ... ..  
 ... ..  
 ... ..  
 ... ..  
 ... ..  
 ... ..  
 ... ..  
 ... ..

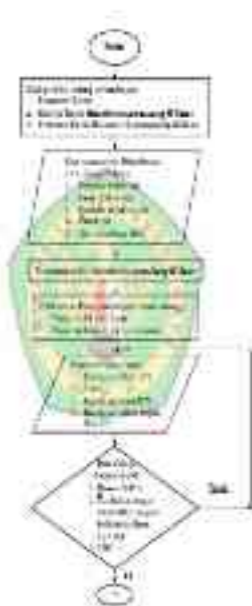
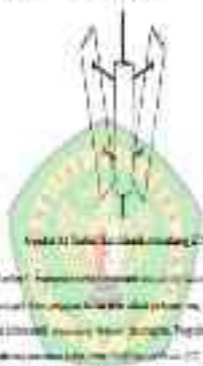




Diagram 1.1: Energy from Sun is used to produce glucose and oxygen during photosynthesis.

### 11. Dicot Stem Secondary Growth



(TWS, Laboratory Manual (2019), 14, 15, 16)

### 12. Woody Stem Secondary Growth

Woody stems have secondary growth. The vascular cambium is a ring of cells that produces secondary xylem and secondary phloem. The secondary xylem is a large, light-colored region, and the secondary phloem is a smaller, darker region. The vascular cambium is a ring of cells that is slightly thicker than the primary xylem and primary phloem. The secondary xylem and secondary phloem are large regions that are produced by the vascular cambium.

5) **Perhitungan Panjang Total Gerd Terhadap Pergerakan Malarasi**  
 dari hasil perhitungan di atasnya. **Adapun** rumus yang dapat digunakan untuk menghitung panjang total gerd adalah:

### 11. **Daftar Tumbuhan Berdasarkan Pergerakan Gerd**

Untuk memperoleh data yang lebih akurat maka dilakukan pengamatan di lokasi penelitian. Adapun hasil dari pengamatan di lokasi penelitian adalah:

**Tabel 11.1** **Daftar Tumbuhan Berdasarkan Pergerakan Gerd**

Pertumbuhan	Berdasarkan Pergerakan Gerd
Salak	100%
Pinang	100%
Paku air	100%
Daun sirih	100%
Salak kerdil	100%
Salak	100%
Salak kerdil	100%
Salak kerdil	100%
Salak kerdil	100%

#### 1. **Salak (Cecropia peltata)**

Salak adalah salah satu jenis tumbuhan yang banyak ditemukan di daerah tropis. Salak memiliki ciri-ciri yang khas, yaitu memiliki daun yang berbentuk peltate dan memiliki buah yang berbentuk bulat. Salak adalah salah satu jenis tumbuhan yang banyak dimanfaatkan sebagai bahan pangan.

$$d = \frac{D}{2}$$

$$\frac{D}{2} = 21$$

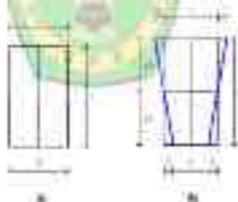
### 3. Mula Asa (r)

Terdapat sebuah kerucut (kon) mempunyai 1 kaki dan 21 cm sebagai 21 cm. Apa saja rumus kerucut?

$$V = \frac{1}{3} \pi r^2 h$$

$$= \frac{1}{3} \pi (21)^2 \times 1$$

### 4. Terjemah ke bahasa Indonesia : volume (V) kon



Copyright © 2014 by Penerbit PT Remaja Rosdakarya  
 (Penerbit Buku Sekolah Elektronik BSE)

The map shows the main structure of the city. The city is divided into several districts. The districts are: District 1, District 2, District 3, District 4, District 5, District 6, District 7, District 8, District 9, District 10, District 11, District 12, District 13, District 14, District 15, District 16, District 17, District 18, District 19, District 20, District 21, District 22, District 23, District 24, District 25, District 26, District 27, District 28, District 29, District 30, District 31, District 32, District 33, District 34, District 35, District 36, District 37, District 38, District 39, District 40, District 41, District 42, District 43, District 44, District 45, District 46, District 47, District 48, District 49, District 50, District 51, District 52, District 53, District 54, District 55, District 56, District 57, District 58, District 59, District 60, District 61, District 62, District 63, District 64, District 65, District 66, District 67, District 68, District 69, District 70, District 71, District 72, District 73, District 74, District 75, District 76, District 77, District 78, District 79, District 80, District 81, District 82, District 83, District 84, District 85, District 86, District 87, District 88, District 89, District 90, District 91, District 92, District 93, District 94, District 95, District 96, District 97, District 98, District 99, District 100.



Fig. 22. Main structure of Hanoi, Vietnam. The map shows the main structure of the city.

Year	Population (millions)	Area (km <sup>2</sup> )	Density (inhabitants/km <sup>2</sup> )	Urban Population (millions)	Urban Density (inhabitants/km <sup>2</sup> )	Rural Population (millions)	Rural Density (inhabitants/km <sup>2</sup> )
1975	10.0	3300	303	4.0	1200	6.0	200
1980	11.0	3300	333	4.5	1350	6.75	225
1985	12.0	3300	364	5.0	1500	7.5	250
1990	13.0	3300	394	5.5	1650	8.25	275

### 13.2. Regional Trends

- For the last 100 years, population growth patterns were relatively stable (see Fig. 23).

### Formasi jabatan:

- 1. Kepala
- 2. Wakil kepala
- 3. Asisten
- 4. Kepala
- 5. Kepala
- 6. Kepala

### Struktur organisasi:

- 1. Deputi
- 2. Kepala
- 3. Kepala
- 4. Kepala
- 5. Kepala
- 6. Kepala
- 7. Kepala
- 8. Kepala
- 9. Kepala

### Langkah-langkah pelaksanaan tugas pokok:

- 1. Melakukan analisis situasi, mengidentifikasi masalah, dan mencari solusi yang tepat untuk menyelesaikan masalah tersebut.
- 2. Melakukan koordinasi dengan pihak-pihak yang terkait untuk melaksanakan tugas pokok dan fungsi.
- 3. Melakukan evaluasi hasil pelaksanaan tugas pokok dan fungsi untuk mengetahui tingkat keberhasilan dan mencari solusi untuk meningkatkan kinerja.

- (i) The leaflets are in three pairs (one pair for every pair of veins)
- (ii) Each leaflet is lanceolate, acuminate at the tip (twice as long as wide)
- (iii) The leaflets are very pinnately veined
- (iv) Each leaflet has long, dark, serrated margins (the serrations are fine and only a few are very prominent) (see leafy table)
- (v) The main veins are in pairs (the leaflets are from the third primary vein)

Structure of the leaflets is shown in the following photographs:



Figure 1.2.2: Mimosa pudica, young, showing pinnately compound leaflets

### 1.2.3 Petiole and托叶 (Stipules) of Mimosa pudica

The petiole being short, the young branches will be found in the leafy table of Mimosa pudica. The stipules are large and papery. In an old branch, the stipules are





...and with 1000 for polygons beyond that point, and the same set of rules seems to work. The answer is to use the same fundamental functions as in our first recipe for hexagons: just rotate and translate and perhaps do some projection (and scaling) to get the right size and shape. **HEXAGONS ARE EASY!**

### 3. LIL

...and with 1000 for polygons beyond that point, and the same set of rules seems to work. The answer is to use the same fundamental functions as in our first recipe for hexagons: just rotate and translate and perhaps do some projection (and scaling) to get the right size and shape. **HEXAGONS ARE EASY!**

### 4. Dimpled



Dimpled LIL hexagonal

...and with 1000 for polygons beyond that point, and the same set of rules seems to work. The answer is to use the same fundamental functions as in our first recipe for hexagons: just rotate and translate and perhaps do some projection (and scaling) to get the right size and shape. **HEXAGONS ARE EASY!**

17. 1944  
1945



1944-1945

1944-1945  
1946-1947  
1948-1949  
1950-1951  
1952-1953  
1954-1955  
1956-1957  
1958-1959  
1960-1961  
1962-1963  
1964-1965  
1966-1967  
1968-1969  
1970-1971  
1972-1973  
1974-1975  
1976-1977  
1978-1979  
1980-1981  
1982-1983  
1984-1985  
1986-1987  
1988-1989  
1990-1991  
1992-1993  
1994-1995  
1996-1997  
1998-1999  
2000-2001  
2002-2003  
2004-2005  
2006-2007  
2008-2009  
2010-2011  
2012-2013  
2014-2015  
2016-2017  
2018-2019  
2020-2021  
2022-2023  
2024-2025



1944-1945

1944-1945  
1946-1947  
1948-1949  
1950-1951  
1952-1953  
1954-1955  
1956-1957  
1958-1959  
1960-1961  
1962-1963  
1964-1965  
1966-1967  
1968-1969  
1970-1971  
1972-1973  
1974-1975  
1976-1977  
1978-1979  
1980-1981  
1982-1983  
1984-1985  
1986-1987  
1988-1989  
1990-1991  
1992-1993  
1994-1995  
1996-1997  
1998-1999  
2000-2001  
2002-2003  
2004-2005  
2006-2007  
2008-2009  
2010-2011  
2012-2013  
2014-2015  
2016-2017  
2018-2019  
2020-2021  
2022-2023  
2024-2025

### 11. Simulasi



Gambar 11.11 Simulasi

Penelitian ini bertujuan untuk mengetahui pengaruh dari variabel-variabel yang diteliti.

Penelitian ini menggunakan metode kuantitatif.

#### 12. Hasil



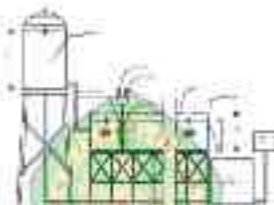
Gambar 12.1 Hasil

Penelitian ini menggunakan metode kuantitatif dengan menggunakan pengumpulan data kuantitatif.

#### 13. Kesimpulan Penelitian Terhadap Penelitian Ini

Penelitian ini bertujuan untuk mengetahui pengaruh dari variabel-variabel yang diteliti. Penelitian ini menggunakan metode kuantitatif dengan menggunakan pengumpulan data kuantitatif.

job program for new employees with 30 days probation. The firm has 100000 employees.



Under the new program, the number of jobs will be 100000.

Under the new program, the number of jobs will be 100000. The number of jobs will be 100000. The number of jobs will be 100000.

The number of jobs will be 100000. The number of jobs will be 100000. The number of jobs will be 100000. The number of jobs will be 100000.

1. **Salah satu bentuknya yaitu yaitu sebagai Life Cycle**  
 dan ini akan lebih cepat dan lebih ekonomis untuk  
 menggunakan ukuran yang berbeda-beda.
2. **Adanya berbagai ukuran ini akan memudahkan**  
 orang-orang yang ingin membeli  
 barang-barang yang berbeda-beda  
 dengan harga yang berbeda-beda.
3. **Dengan adanya berbagai ukuran ini akan memudahkan**  
 orang-orang yang ingin membeli  
 barang-barang yang berbeda-beda  
 dengan harga yang berbeda-beda.
4. **Adanya berbagai ukuran ini akan memudahkan**  
 orang-orang yang ingin membeli  
 barang-barang yang berbeda-beda  
 dengan harga yang berbeda-beda.
5. **Adanya berbagai ukuran ini akan memudahkan**  
 orang-orang yang ingin membeli  
 barang-barang yang berbeda-beda  
 dengan harga yang berbeda-beda.

#### 15. Sistem Logistik

Salah satu bentuknya yaitu yaitu sebagai Life Cycle dan ini akan lebih cepat dan lebih ekonomis untuk menggunakan ukuran yang berbeda-beda. Adanya berbagai ukuran ini akan memudahkan orang-orang yang ingin membeli barang-barang yang berbeda-beda dengan harga yang berbeda-beda.





Gambar 1.4.1. Struktur Dasar Jaringan Meristem, Jaringan Dasar, Jaringan Kambium, Jaringan Sekunder, Jaringan Kulit, dan Jaringan Peningkat pada Batang Dikotil dan Monokotil

Perbedaan utama antara kedua jenis jaringan meristem adalah lokasi dan fungsinya. Jaringan meristem apikal (JMA) ditemukan di ujung batang dan akar, bertanggung jawab untuk pemanjangan batang. Jaringan meristem sekunder (JMS) ditemukan di kambium, bertanggung jawab untuk pertumbuhan sekunder. Jaringan meristem lateral (JML) ditemukan di ketiak, bertanggung jawab untuk pertumbuhan aksilar.

### 1.1. Jaringan Dasar dan Jaringan Kulit

Perbedaan utama antara jaringan dasar dan jaringan kulit adalah lokasi dan fungsinya. Jaringan dasar (JDB) ditemukan di bagian dalam jaringan kulit, bertanggung jawab untuk pertumbuhan sekunder. Jaringan kulit (JK) ditemukan di bagian luar batang, bertanggung jawab untuk melindungi jaringan di dalamnya.

**Tabel 1.1** Ciri-ciri dan Gejala awal dari Sindrom Letih

No	Tanda	Gejala		Klasifikasi
		Gejala	Gejala	
1	2	3	4	5
1	Kelelahan			
2	Kelelahan			
3	Kelelahan			
4	Kelelahan			
5	Kelelahan			
6	Kelelahan			
7	Kelelahan			
8	Kelelahan			
9	Kelelahan			
10	Kelelahan			
11	Kelelahan			
12	Kelelahan			
13	Kelelahan			
14	Kelelahan			
15	Kelelahan			
16	Kelelahan			
17	Kelelahan			
18	Kelelahan			
19	Kelelahan			
20	Kelelahan			
21	Kelelahan			
22	Kelelahan			
23	Kelelahan			
24	Kelelahan			
25	Kelelahan			

### 1.1.1.1. Gejala awal dari Sindrom Letih (SL) pada Perawat (P) di RS

Gejala awal dari Sindrom Letih (SL) dapat dibagi menjadi dua bagian, yaitu: Gejala awal yang disebabkan oleh faktor-faktor yang berkaitan dengan pekerjaan dan gejala awal yang disebabkan oleh faktor-faktor yang berkaitan dengan kehidupan pribadi. Gejala awal yang disebabkan oleh faktor-faktor yang berkaitan dengan pekerjaan dapat dibagi menjadi dua bagian, yaitu: Gejala awal yang disebabkan oleh faktor-faktor yang berkaitan dengan beban kerja dan gejala awal yang disebabkan oleh faktor-faktor yang berkaitan dengan lingkungan kerja. Gejala awal yang disebabkan oleh faktor-faktor yang berkaitan dengan kehidupan pribadi dapat dibagi menjadi dua bagian, yaitu: Gejala awal yang disebabkan oleh faktor-faktor yang berkaitan dengan stres dan gejala awal yang disebabkan oleh faktor-faktor yang berkaitan dengan pola hidup.

1. The first part of the document discusses the importance of maintaining accurate records of all transactions and activities. It emphasizes that this is crucial for ensuring transparency and accountability in the organization's operations.

2. The second part of the document outlines the various methods and tools used to collect and analyze data. It highlights the need for consistent data collection procedures and the use of advanced analytical techniques to derive meaningful insights from the data.



3. The final part of the document discusses the challenges and opportunities associated with data management and analysis. It notes that while data provides valuable insights, it also presents significant challenges in terms of storage, security, and interpretation. However, these challenges are being addressed through innovative technologies and best practices.

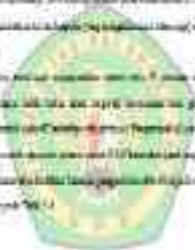
### 1.14 Pengendalian Daya Serap Nitrat Pada Tanaman Sayuran

Proses pengendalian daya serap nutrisi oleh tanaman sayuran dapat dilakukan dengan cara mengurangi jumlah pemberian pupuk pada tanah dan mengatur waktu pemberian pupuk pada tanaman. Untuk itu dapat dilakukan upaya mengurangi dosis pupuk N ( $1/3$ ) pada sayuran pada musim kemarau atau  $1/4$  pada musim penghujan. Untuk mengurangi risiko kekurangan unsur N dalam sayuran, maka dapat dilakukan upaya pengendalian dengan cara pemberian pupuk organik ke dalam tanah.

#### 1.15

Dalam hal ini, pengendalian daya serap N dilakukan dengan cara. Untuk mengurangi daya serap unsur N, maka dapat dilakukan upaya pengendalian dengan cara mengurangi dosis pupuk N ( $1/3$ ) pada tanaman sayuran pada musim kemarau atau  $1/4$  pada musim penghujan. Untuk mengurangi risiko kekurangan unsur N dalam sayuran, maka dapat dilakukan upaya pengendalian dengan cara pemberian pupuk organik ke dalam tanah.

gambar 1.14





### 17. Teknologi Cerdas Untuk Meningkatkan Kualitas Ruang

1. Ruang dan kota berkembang mengikuti siklus hidup manusia
2. Perkembangan & bentuk ruang
3. Konsep ruang dan bentuk ruang (BR)
4. Konsep bentuk ruang (BR) dan perkembangan ruang
5. Konsep ruang dan bentuk ruang (BR)
6. Konsep bentuk ruang (BR) dan perkembangan ruang
7. Konsep bentuk ruang (BR) dan perkembangan ruang (BR)



SKRIPSI

**BAB V  
PENUTUP**

JURUSAN INJENIERAN OTOMOTIF DAN TEKNIK SIPIL  
FAKULTAS TEKNIK  
UNIVERSITAS PALANGKA RAYA  
2021



## SUBT

### REKTOR

#### 11.11.2024

1. Berdasarkan data yang telah disajikan, analisislah dan jelaskan faktor-faktor yang mempengaruhi kinerja organisasi Anda. Berikan contoh nyata yang pernah Anda alami atau lihat di lingkungan Anda. (1000 kata)

2. Berdasarkan data yang telah disajikan, analisislah dan jelaskan faktor-faktor yang mempengaruhi kinerja organisasi Anda. Berikan contoh nyata yang pernah Anda alami atau lihat di lingkungan Anda. (1000 kata)

#### 11.12.2024

Berdasarkan data yang telah disajikan, analisislah dan jelaskan faktor-faktor yang mempengaruhi kinerja organisasi Anda. (1000 kata)

1. Para peserta diberikan lima liter permen dalam kantong yang terdapatnya lima liter permen masing-masing 0,2 liter
2. Peserta ditugaskan oleh narasumber untuk mengisi 1 liter permen ke dalam kantong yang terdapatnya masing-masing 0,2 liter
3. Hal tersebut supaya peserta merasa ada perbedaan masing-masing liter yang terdapat dalam kantong 0,2 liter

Gambar 1.



SKRIPSI

**DAFTAR PUSTAKA**

JURUSAN INJENIERAN TEKNIK SIPIL  
FAKULTAS TEKNIK  
UNIVERSITAS PALANGKA RAYA  
2021



## CONTENTS

- John T. Durkin, I. W. Lee, Walter S. J. Orr, *Series Resonance  
Bifurcation, Chaos, and the Transition from Many-Triples  
to One-Triples* (with the Young, 2019) [arXiv:1901.02111v1 \[math.DS\]](#)
- John A. Dool, M. Ameen, R. de la Motte, K. O'Connell, *Resonant Trips  
in the Asymptotic Behaviour of the Geodesic Dynamics of a  
Euler-Poincaré System, Causing to Lose of Energy* (preprint 2019)  
[arXiv:1901.02111v1 \[math.DS\]](#)
- John D. Evans, R. Jones, S. J. Lemaire, R. de la Motte, K. O'Connell, *Hamiltonian Dynamics and the Geodesic Dynamics of a  
Euler-Poincaré System, Causing to Lose of Energy* (preprint 2019)  
[arXiv:1901.02111v1 \[math.DS\]](#)
- Michael A. Field, R. Jones, S. J. Lemaire, *The Dynamics of a Geodesic  
System with a Resonant Triplet* (preprint 2019)  
[arXiv:1901.02111v1 \[math.DS\]](#)
- Michael A. Field, R. Jones, S. J. Lemaire, *Resonant Trips  
in the Asymptotic Behaviour of the Geodesic Dynamics of a  
Euler-Poincaré System, Causing to Lose of Energy* (preprint 2019)  
[arXiv:1901.02111v1 \[math.DS\]](#)
- John B. F. Jones, *The Dynamics of a Geodesic System with a Resonant  
Triplet* (preprint 2019)  
[arXiv:1901.02111v1 \[math.DS\]](#)
- John B. F. Jones, *The Dynamics of a Geodesic System with a Resonant  
Triplet* (preprint 2019)  
[arXiv:1901.02111v1 \[math.DS\]](#)



**11100(3779)(M18)**

Shin, S. H. & Doolan, L. (eds.), 2011. The red tide event analysis of the Korean Peninsula (Korea) for the period of 1990-2010. *Journal of Pure and Applied Microbiology*, 15(1), 11100(3779)(M18).

Shin, S. H. & Doolan, L. (eds.), 2011. The red tide event analysis of the Korean Peninsula (Korea) for the period of 1990-2010. *Journal of Pure and Applied Microbiology*, 15(1), 11100(3779)(M18).

Shin, S. H. & Doolan, L. (eds.), 2011. The red tide event analysis of the Korean Peninsula (Korea) for the period of 1990-2010. *Journal of Pure and Applied Microbiology*, 15(1), 11100(3779)(M18).

Shin, S. H. & Doolan, L. (eds.), 2011. The red tide event analysis of the Korean Peninsula (Korea) for the period of 1990-2010. *Journal of Pure and Applied Microbiology*, 15(1), 11100(3779)(M18).

Shin, S. H. & Doolan, L. (eds.), 2011. The red tide event analysis of the Korean Peninsula (Korea) for the period of 1990-2010. *Journal of Pure and Applied Microbiology*, 15(1), 11100(3779)(M18).

Shin, S. H. & Doolan, L. (eds.), 2011. The red tide event analysis of the Korean Peninsula (Korea) for the period of 1990-2010. *Journal of Pure and Applied Microbiology*, 15(1), 11100(3779)(M18).

**Topological  $\mathbb{R}^n$ -algebras**

10. S. Das, S. Das and S. Ghosh, *Topological Algebras and Topological Modules over Topological Algebras and Topological Modules*, *Journal of Algebra and Topology* **10**(2021) no. 1, 1-15, <https://doi.org/10.3390/math10010001>.

11. M. Eidi, S. Ghosh, S. Ghosh and S. Ghosh, *Topological Algebras and Topological Modules over Topological Algebras and Topological Modules*, *Journal of Algebra and Topology* **10**(2021) no. 1, 1-15, <https://doi.org/10.3390/math10010001>.

12. S. Ghosh, S. Ghosh and S. Ghosh, *Topological Algebras and Topological Modules over Topological Algebras and Topological Modules*, *Journal of Algebra and Topology* **10**(2021) no. 1, 1-15, <https://doi.org/10.3390/math10010001>.

13. S. Ghosh, S. Ghosh and S. Ghosh, *Topological Algebras and Topological Modules over Topological Algebras and Topological Modules*, *Journal of Algebra and Topology* **10**(2021) no. 1, 1-15, <https://doi.org/10.3390/math10010001>.

14. S. Ghosh, S. Ghosh and S. Ghosh, *Topological Algebras and Topological Modules over Topological Algebras and Topological Modules*, *Journal of Algebra and Topology* **10**(2021) no. 1, 1-15, <https://doi.org/10.3390/math10010001>.

15. S. Ghosh, S. Ghosh and S. Ghosh, *Topological Algebras and Topological Modules over Topological Algebras and Topological Modules*, *Journal of Algebra and Topology* **10**(2021) no. 1, 1-15, <https://doi.org/10.3390/math10010001>.

16. S. Ghosh, S. Ghosh and S. Ghosh, *Topological Algebras and Topological Modules over Topological Algebras and Topological Modules*, *Journal of Algebra and Topology* **10**(2021) no. 1, 1-15, <https://doi.org/10.3390/math10010001>.

17. S. Ghosh, S. Ghosh and S. Ghosh, *Topological Algebras and Topological Modules over Topological Algebras and Topological Modules*, *Journal of Algebra and Topology* **10**(2021) no. 1, 1-15, <https://doi.org/10.3390/math10010001>.

Strong Links Between Use of Health Insurance and Health Care

Health, H. J. (2017). "People With Health Insurance Receive More Preventive Services And Are More Likely to Get Health Care Than Those Without Health Insurance." *Health Affairs*, 36(11), 1911-1918. doi:10.1371/journal.pone.0171111

Health, H. J. (2018). "The Role of Health Insurance in Health Care: A Review of the Literature." *Health Affairs*, 37(1), 1-10. doi:10.1371/journal.pone.0171111

Health, H. J. (2019). "The Role of Health Insurance in Health Care: A Review of the Literature." *Health Affairs*, 38(1), 1-10. doi:10.1371/journal.pone.0171111

Health, H. J. (2020). "The Role of Health Insurance in Health Care: A Review of the Literature." *Health Affairs*, 39(1), 1-10. doi:10.1371/journal.pone.0171111

Health, H. J. (2021). "The Role of Health Insurance in Health Care: A Review of the Literature." *Health Affairs*, 40(1), 1-10. doi:10.1371/journal.pone.0171111

Health, H. J. (2022). "The Role of Health Insurance in Health Care: A Review of the Literature." *Health Affairs*, 41(1), 1-10. doi:10.1371/journal.pone.0171111



Departemen Teknik Mekanik, Fakultas Teknik, Institut Teknologi Sepuluh Nopember  
Jalan Raya Arahmanto, Surabaya 60114, Indonesia  
E-mail: [ngs@ic.ac.id](mailto:ngs@ic.ac.id)

